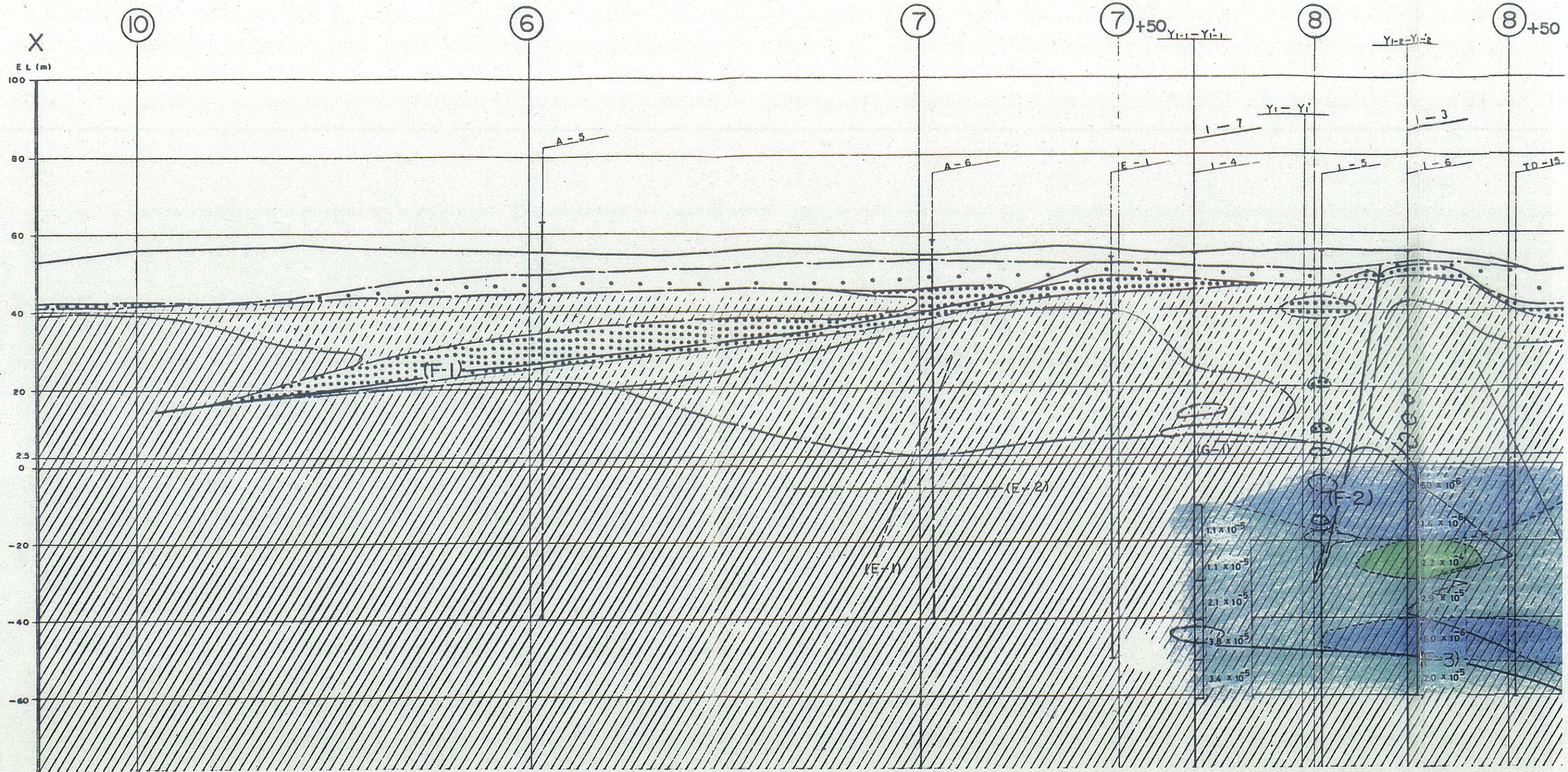
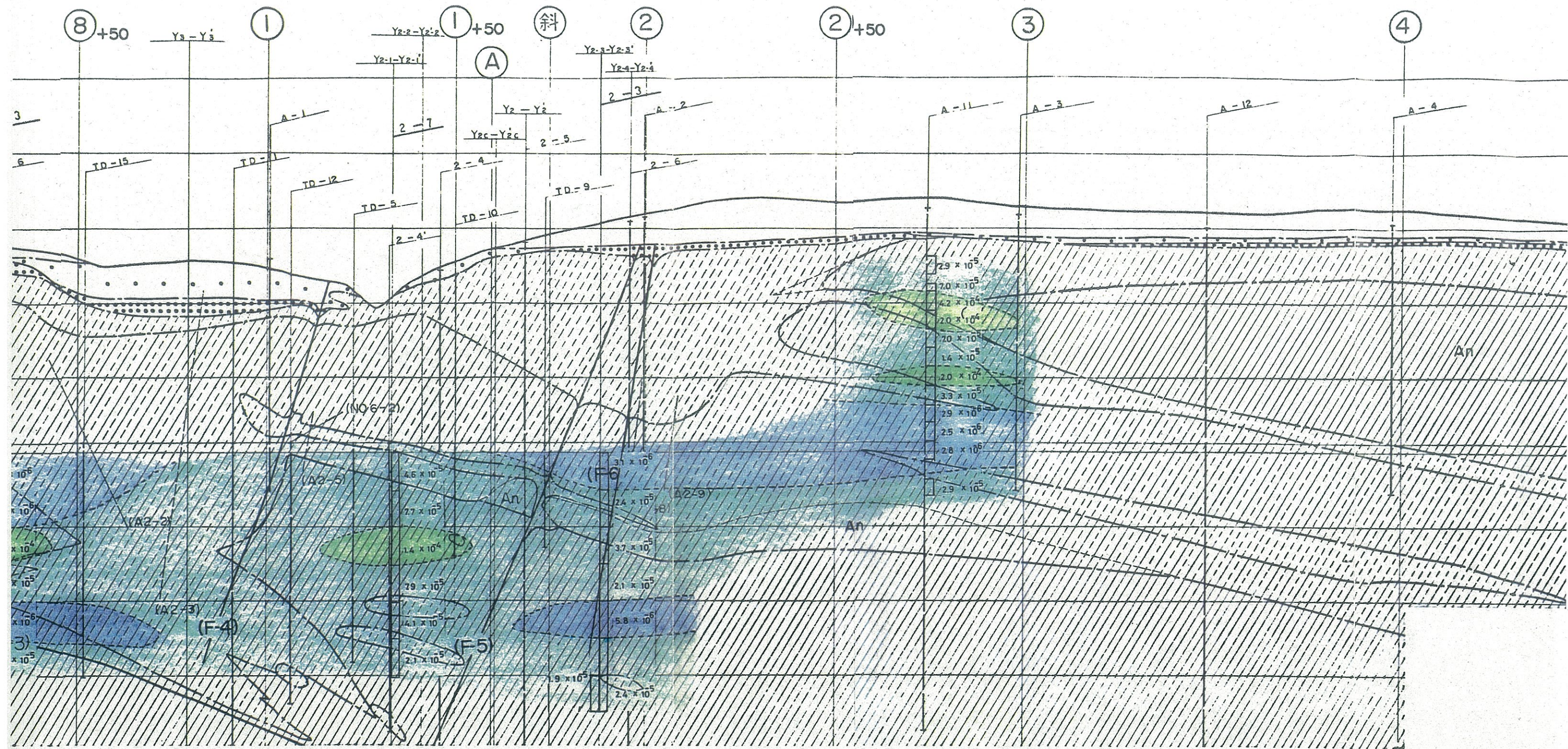


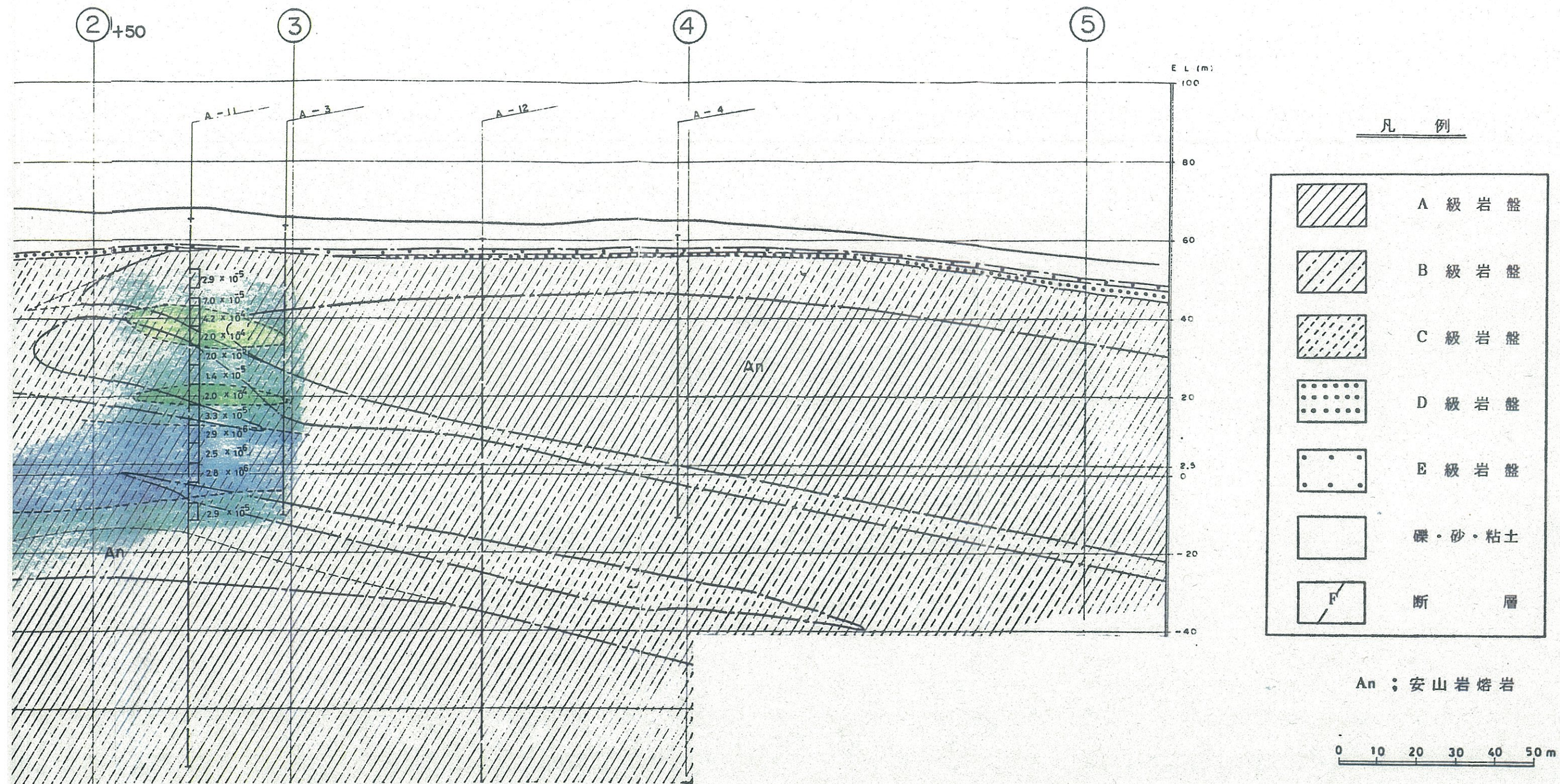
第 4. 2. 13 图(2) 透水系数分布图 (Y2C - Y2C')





透水係数:

- $k = 1 \times 10^{-3} \sim$ cm/s
- $k = 5 \times 10^{-4} \sim 1 \times 10^{-3}$ cm/s
- $k = 1 \times 10^{-4} \sim 5 \times 10^{-4}$ cm/s
- $k = 1 \times 10^{-5} \sim 1 \times 10^{-4}$ cm/s
- $k = 1 \times 10^{-6} \sim 1 \times 10^{-5}$ cm/s



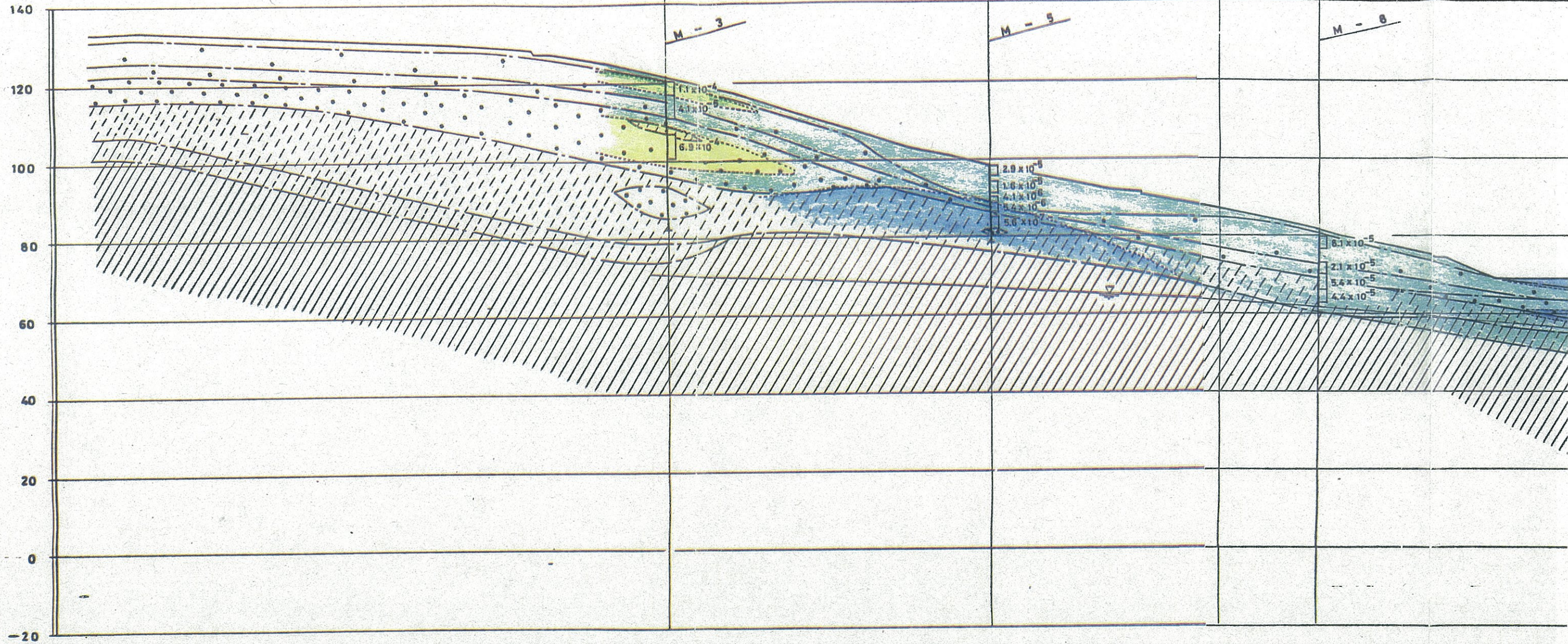
系数

- $k = 1 \times 10^{-3} \sim \text{cm/s}$
- $k = 5 \times 10^{-4} \sim 1 \times 10^{-3} \text{ cm/s}$
- $k = 1 \times 10^{-4} \sim 5 \times 10^{-4} \text{ cm/s}$
- $k = 1 \times 10^{-5} \sim 1 \times 10^{-4} \text{ cm/s}$
- $k = 1 \times 10^{-6} \sim 1 \times 10^{-5} \text{ cm/s}$

第 4.2.13 图(3) 透水系数分布 (X-X')

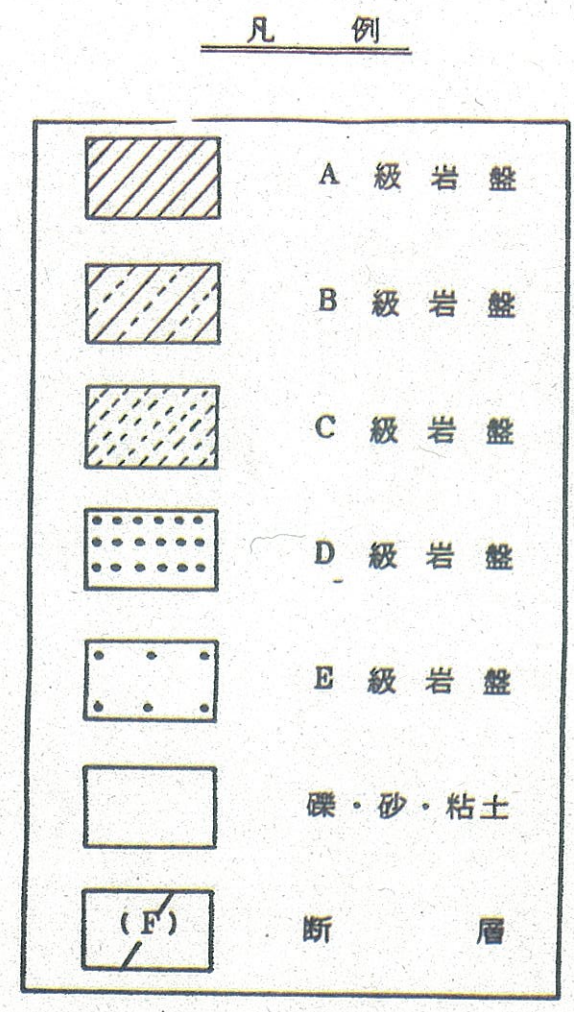
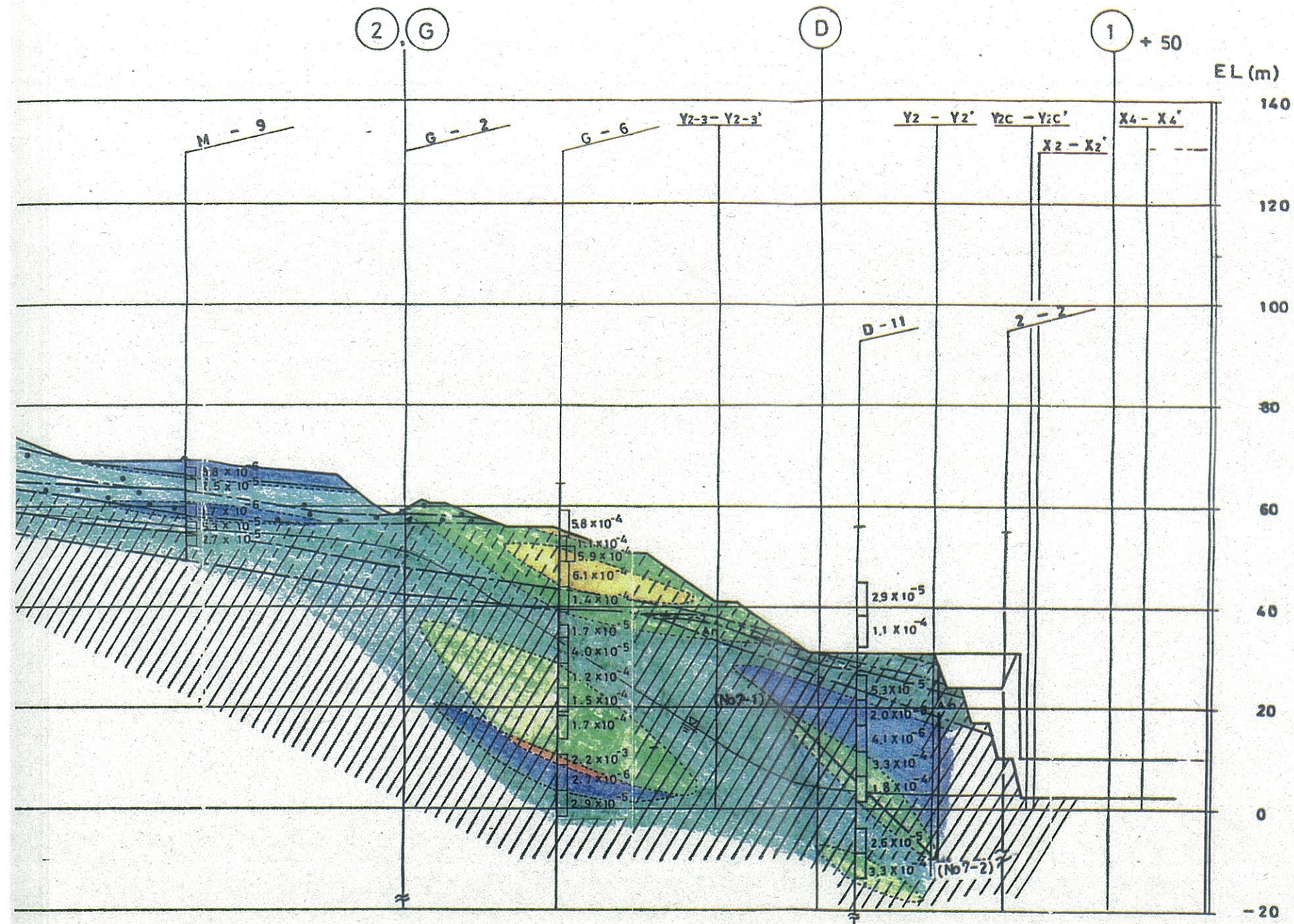
(a - a')

EL (m)



透水

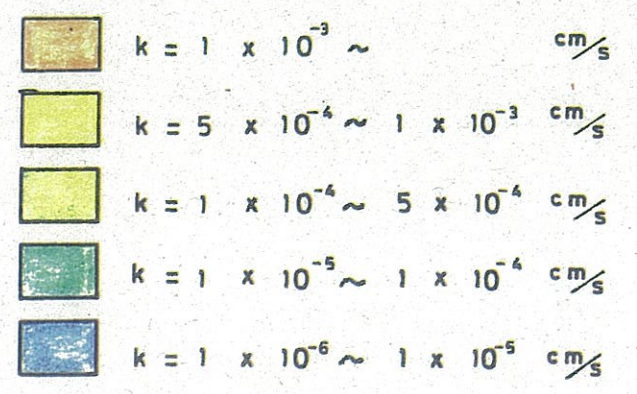




An ; 安山岩熔岩

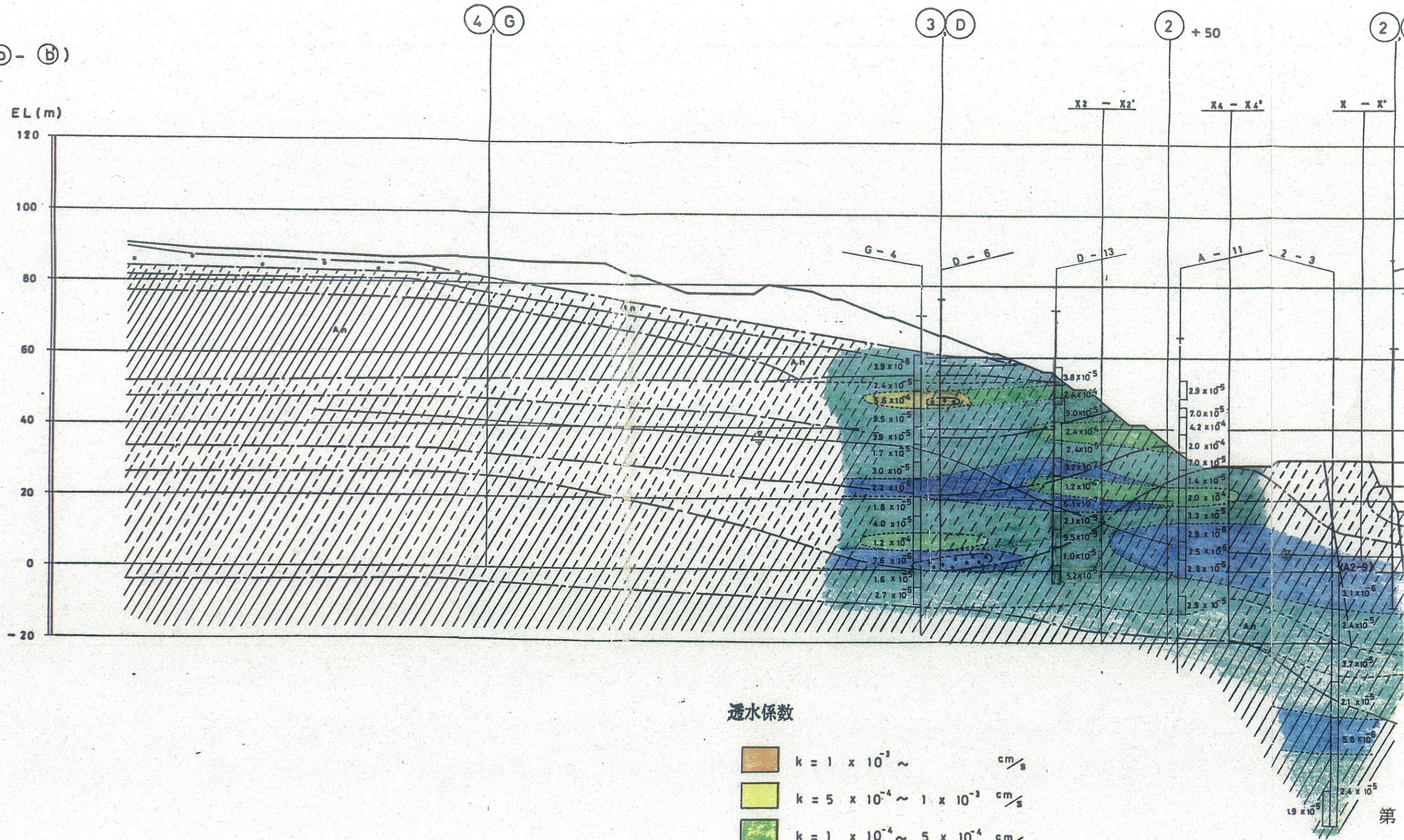


透水係数








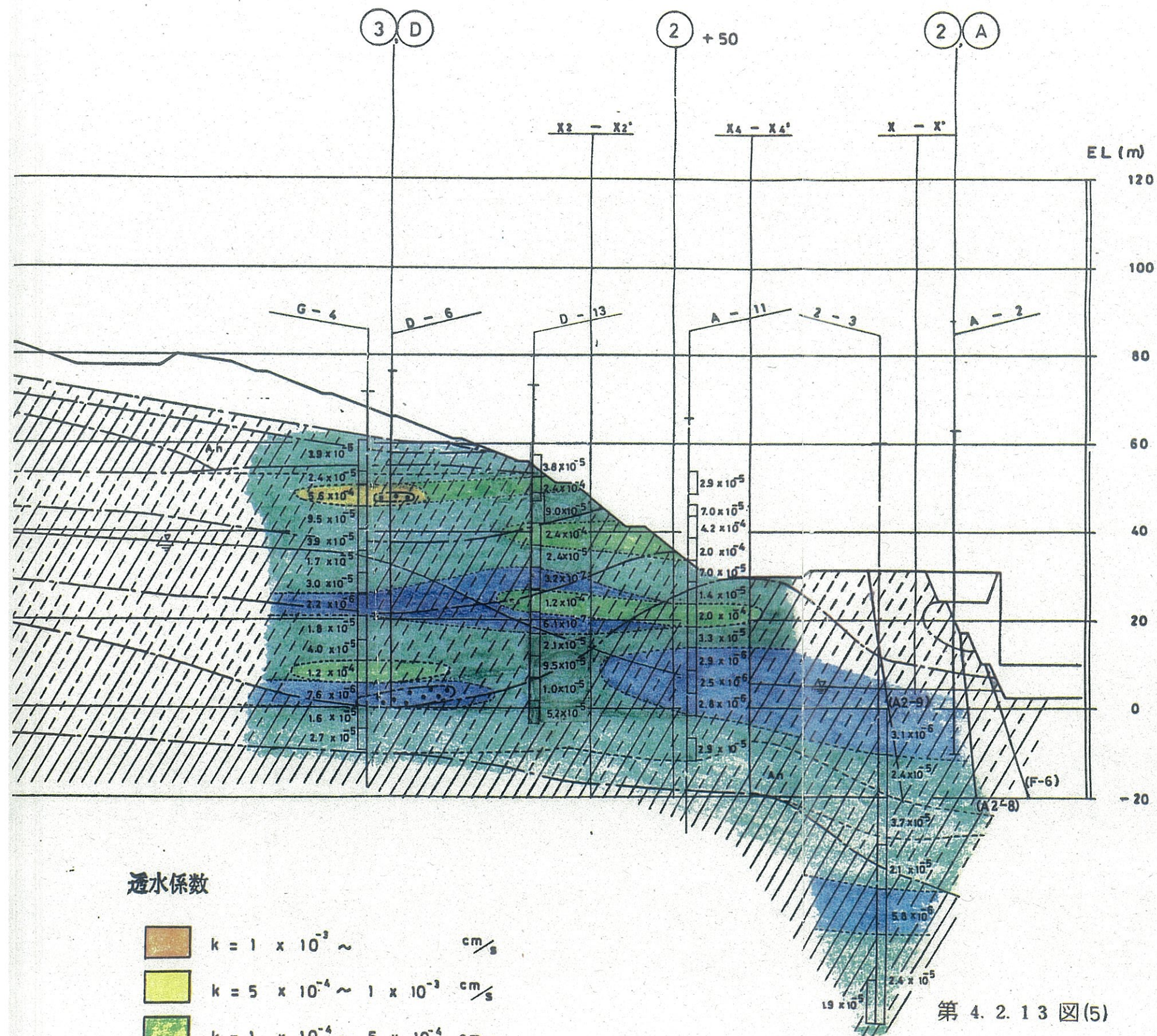
第 4. 2. 13 図(4) 透水係数分布図 (㉑ - ㉑)

(b) - (b')



透水係数

- | | | |
|---|--|---------------|
|  | $k = 1 \times 10^{-3} \sim$ | cm/s |
|  | $k = 5 \times 10^{-4} \sim 1 \times 10^{-3}$ | cm/s |
|  | $k = 1 \times 10^{-4} \sim 5 \times 10^{-4}$ | cm/s |
|  | $k = 1 \times 10^{-5} \sim 1 \times 10^{-4}$ | cm/s |
|  | $k = 1 \times 10^{-6} \sim 1 \times 10^{-5}$ | cm/s |



凡 例

	A 級 岩 盤
	B 級 岩 盤
	C 級 岩 盤
	D 級 岩 盤
	E 級 岩 盤
	礫・砂・粘 土
	断 層

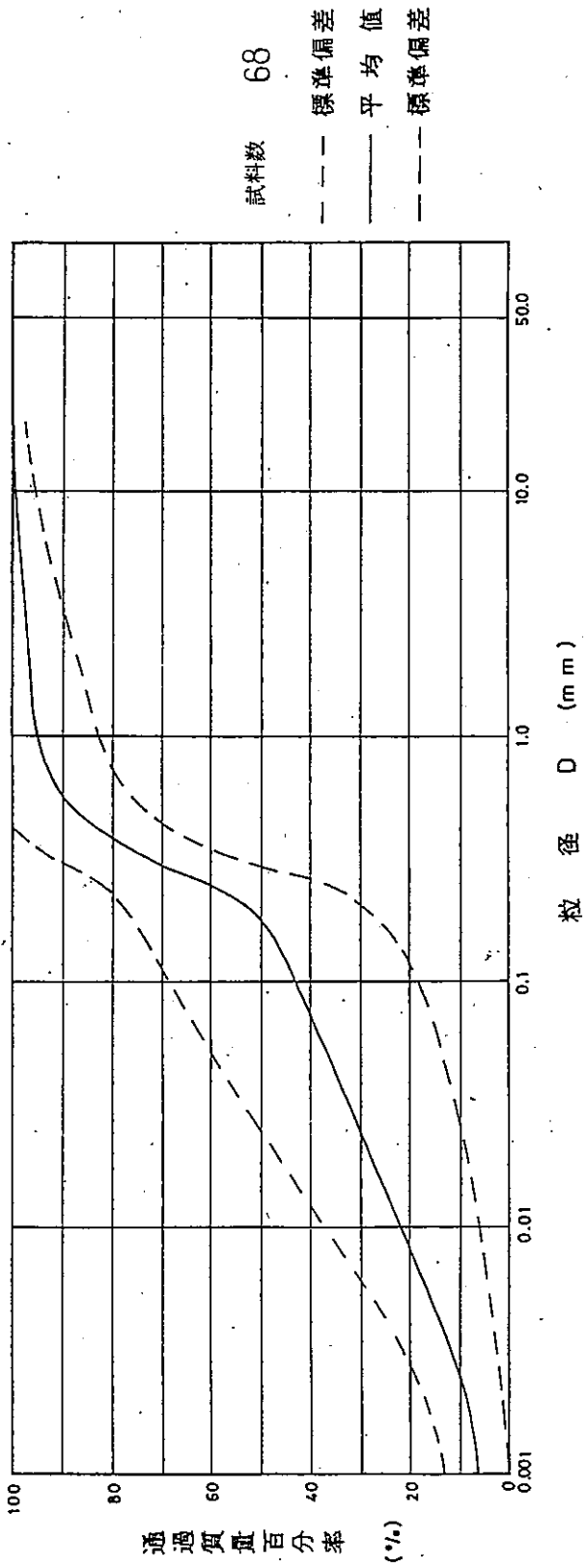
An ; 安山岩熔岩



透水系数

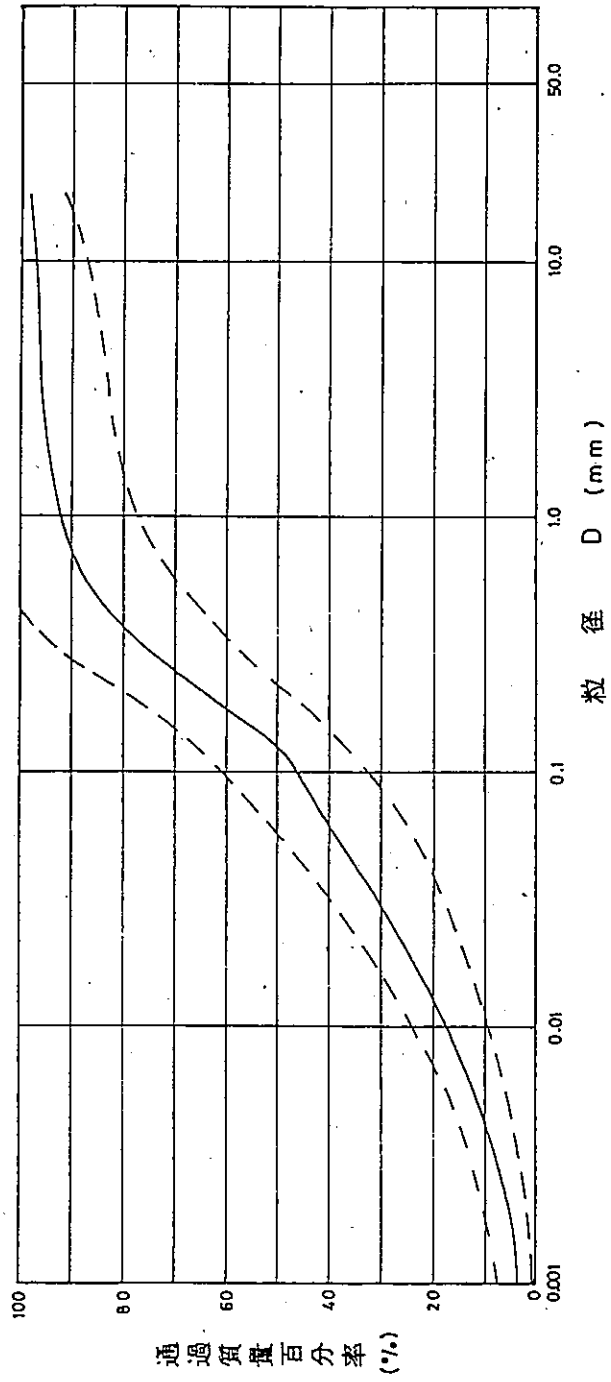
	$k = 1 \times 10^{-3} \sim$	cm/s
	$k = 5 \times 10^{-4} \sim 1 \times 10^{-3}$	cm/s
	$k = 1 \times 10^{-4} \sim 5 \times 10^{-4}$	cm/s
	$k = 1 \times 10^{-5} \sim 1 \times 10^{-4}$	cm/s
	$k = 1 \times 10^{-6} \sim 1 \times 10^{-5}$	cm/s

表 土



第 4.2.1.4 図(1) 表土及びB級岩盤の物理試験結果(粒径加積曲線)

E 級



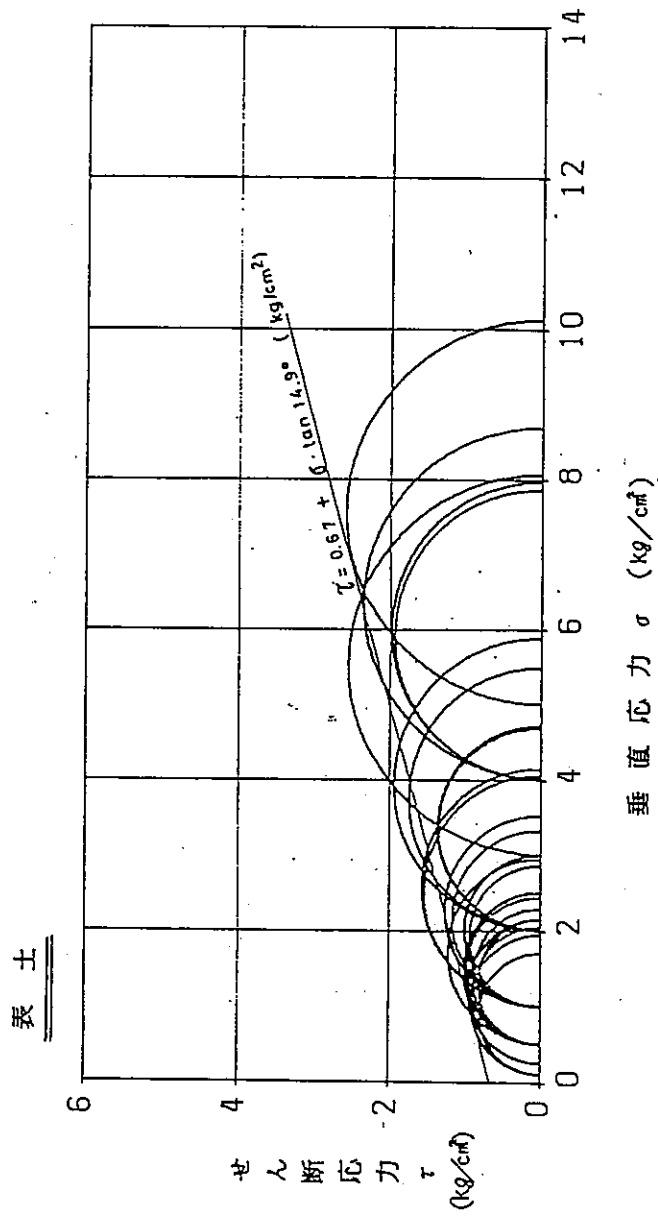
試料数 31

--- 標準偏差

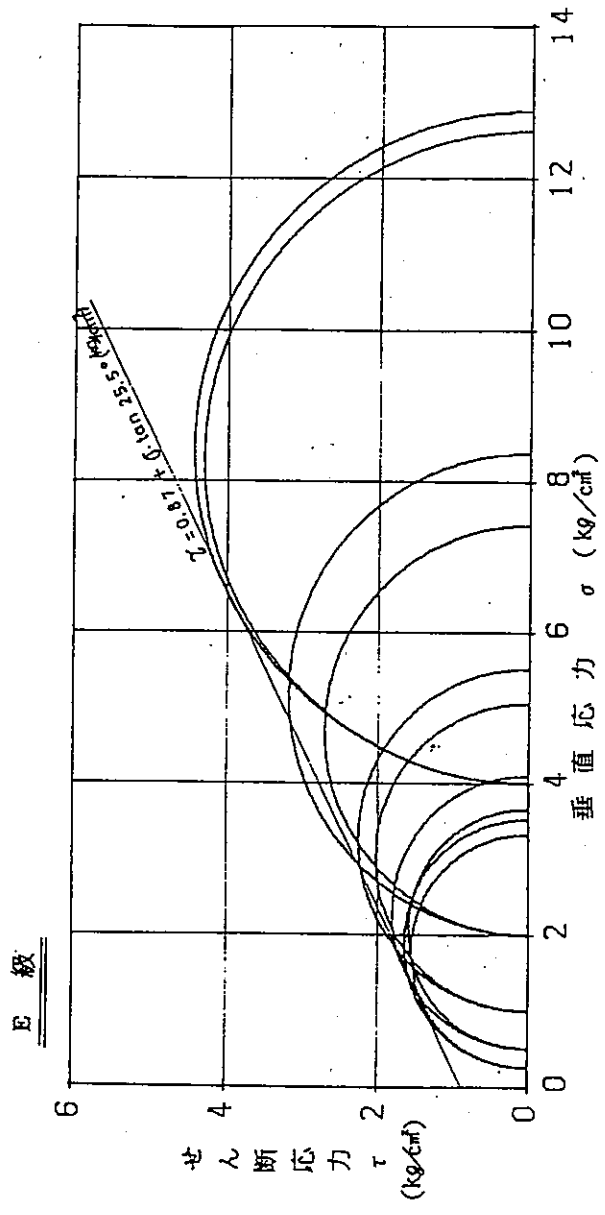
— 平均値

- - - 標準偏差

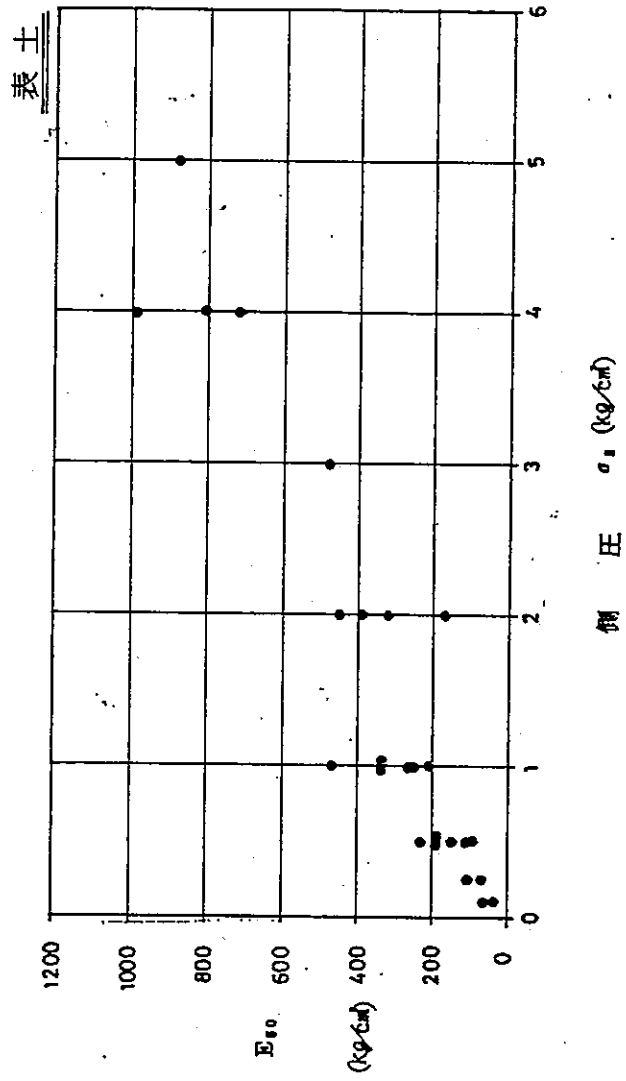
第 4. 2. 1 4 図(2) 表土及び E 級岩盤の物理試験結果 (粒径加積曲線)



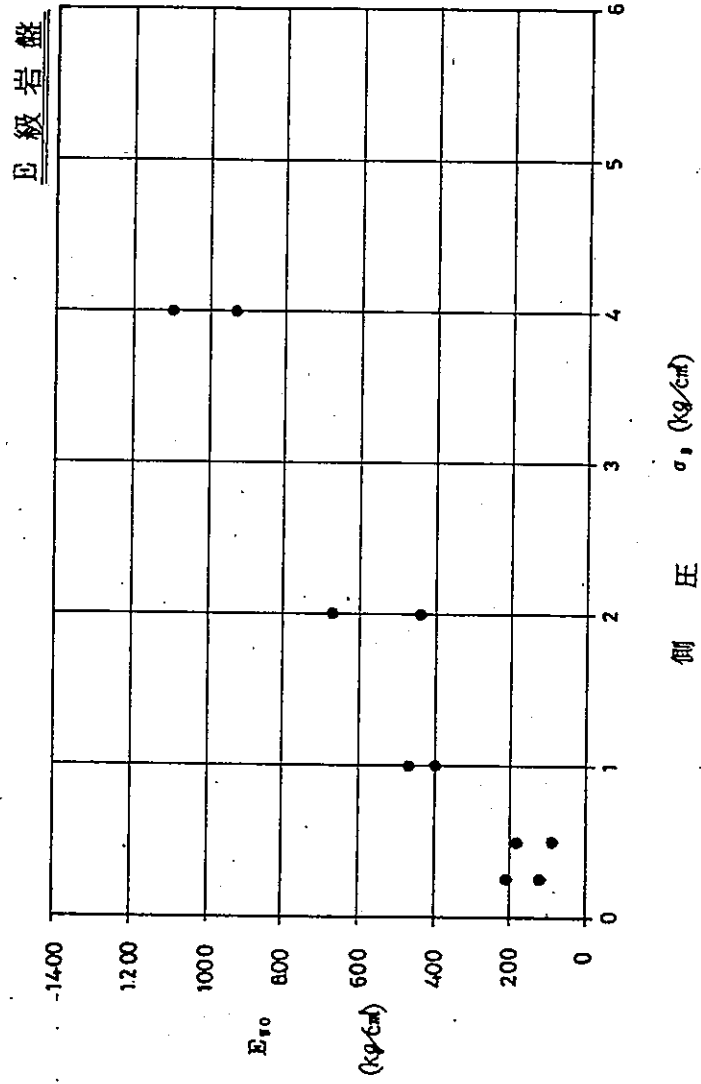
第 4. 2. 15 図 (1) 表土及び B 級岩盤の三軸圧縮試験結果 (モールの円)



第 4.2.15 図 (2) 表土及び E 級岩盤の三軸圧縮試験結果 (モールの円)



第 4. 2. 16 図 表土及びE級岩盤の三軸圧縮試験結果 (E 5.0)

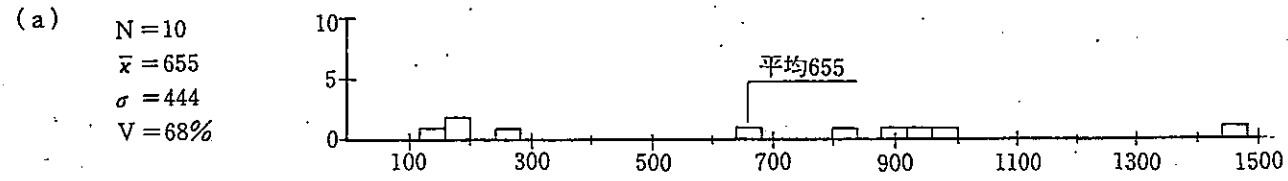


第 4. 2. 17 図 表土及び E 級岩盤の三軸圧縮試験結果 (E 50)

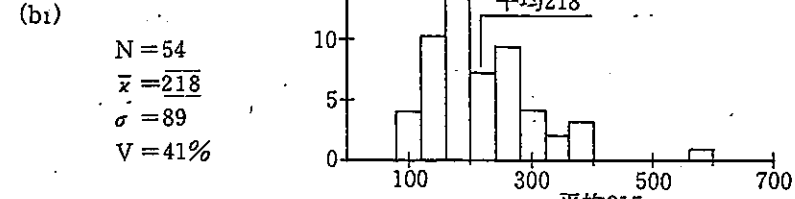
原子炉建屋基礎岩盤

周辺斜面

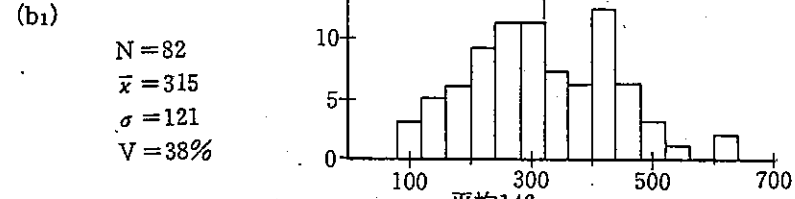
B級 安山岩 熔岩



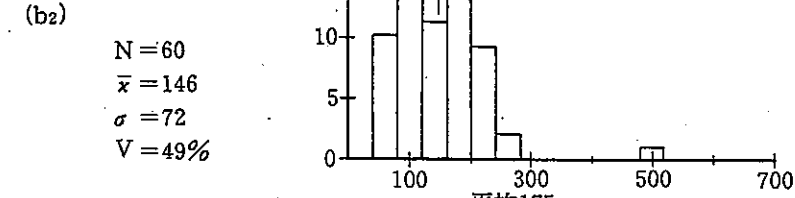
A級 凝灰角礫岩



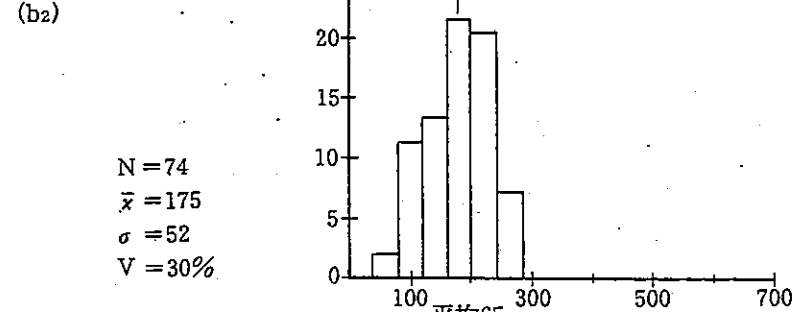
A級 凝灰岩



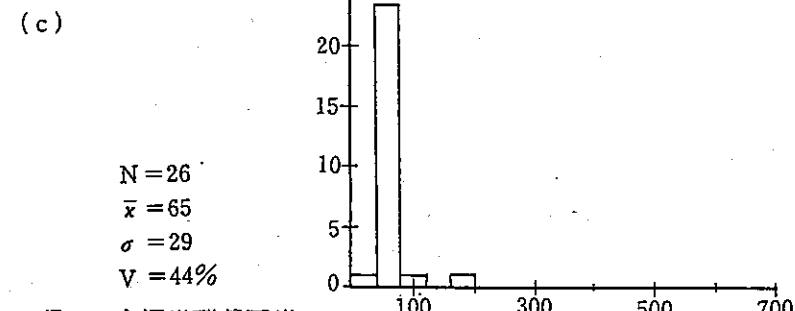
B級 凝灰角礫岩



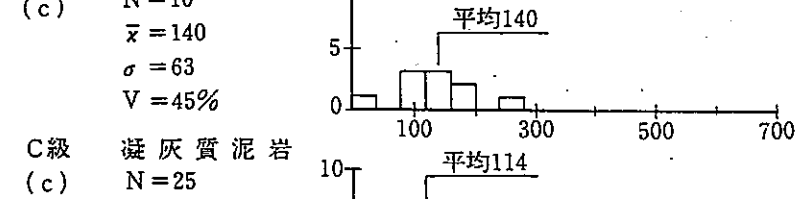
B級 凝灰岩



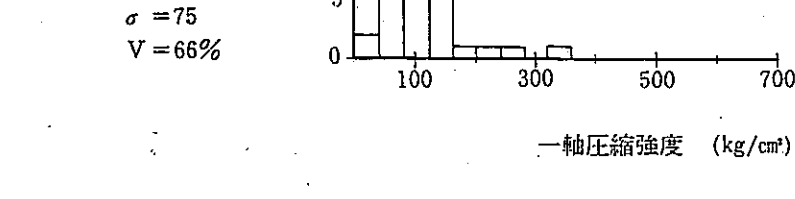
C級 軽石凝灰岩



C級 含泥岩凝灰岩

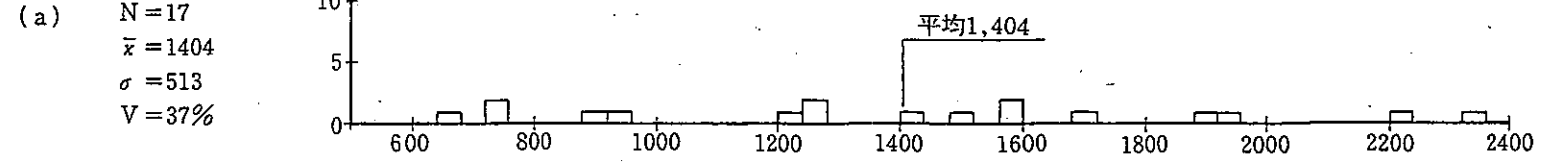


C級 凝灰質泥岩

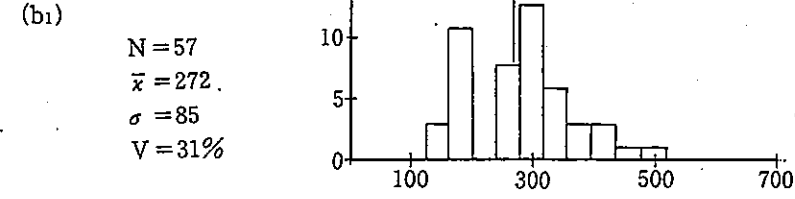


一軸圧縮強度 (kg/cm²)

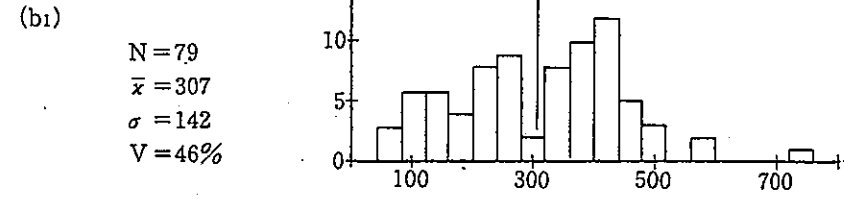
A級 安山岩 熔岩



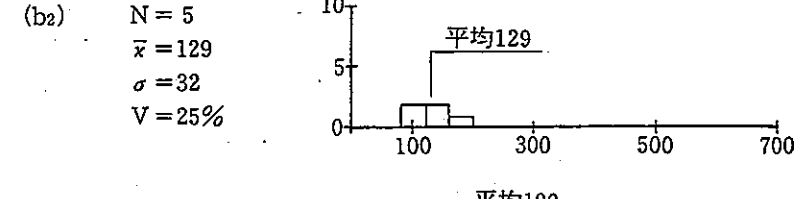
A級 凝灰岩 礫岩



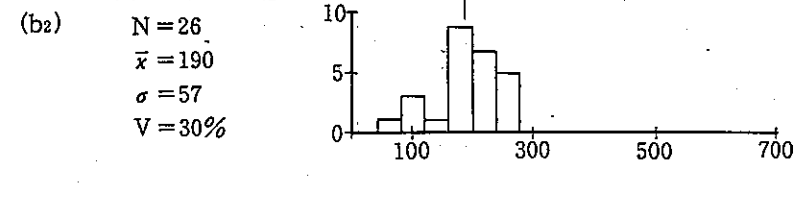
A級 凝灰岩



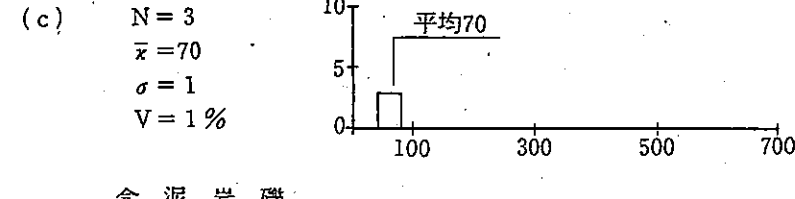
B級 凝灰角礫岩



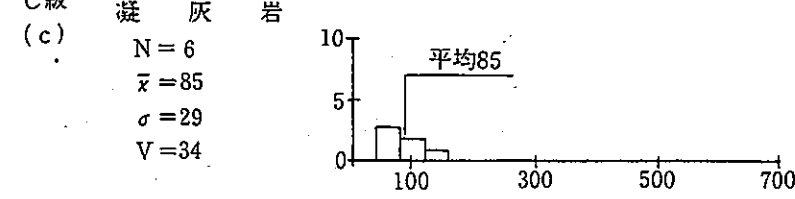
B級 凝灰岩



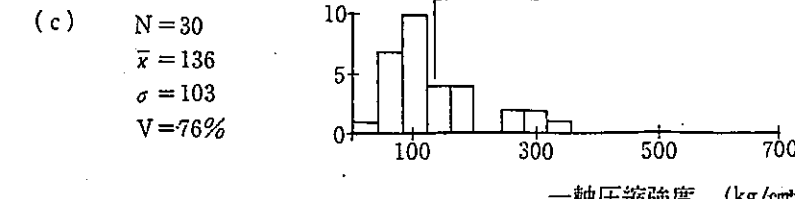
C級 軽石凝灰岩



C級 含泥岩 凝灰岩

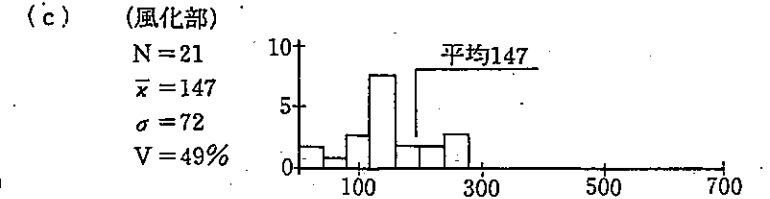


C級 凝灰質泥岩

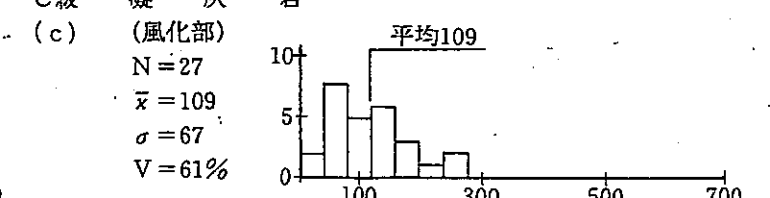


一軸圧縮強度 (kg/cm²)

C級 凝灰角礫岩



C級 凝灰岩

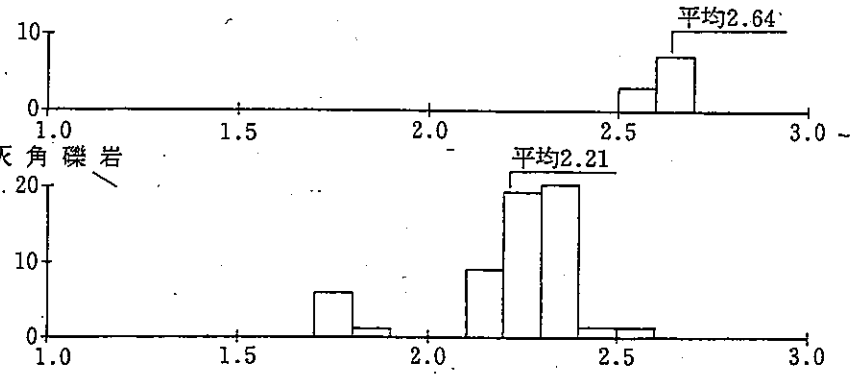


第4.2.18図 (1) 岩種・岩盤分類別
 岩石試験結果ヒストグラム

原子炉建屋基礎岩盤

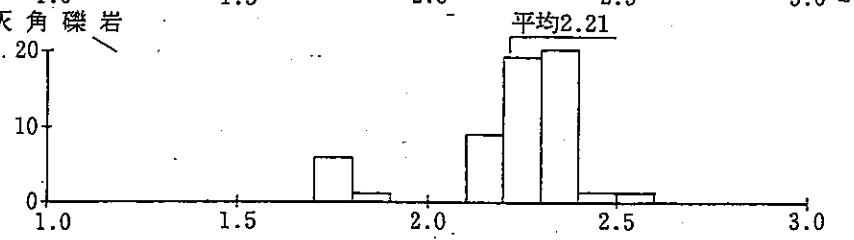
B級 安山岩熔岩
(a)

N=10
 $\bar{x}=2.64$
 $\sigma=0.06$
V=2.1%



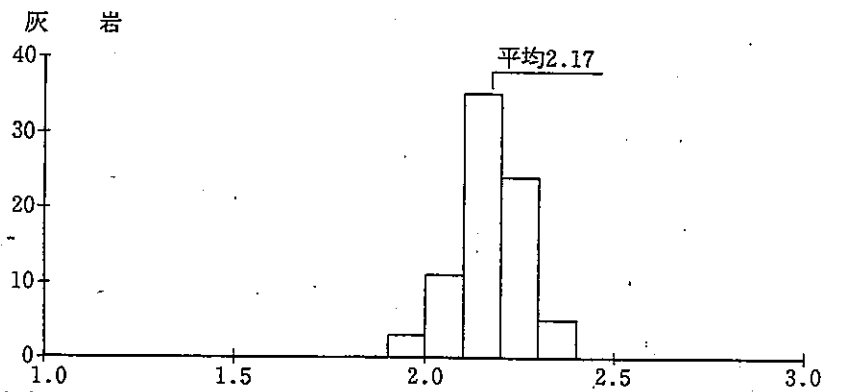
A級 凝灰角礫岩
(b1)

N=57
 $\bar{x}=2.21$
 $\sigma=0.18$
V=8.3%



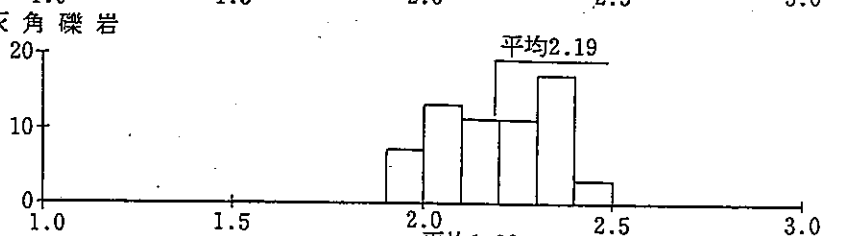
A級 凝灰岩
(b1)

N=78
 $\bar{x}=2.17$
 $\sigma=0.09$
V=4.0%



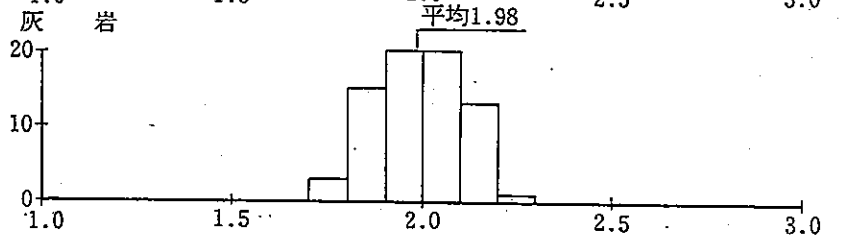
B級 凝灰角礫岩
(b2)

N=62
 $\bar{x}=2.19$
 $\sigma=0.14$
V=6.6%



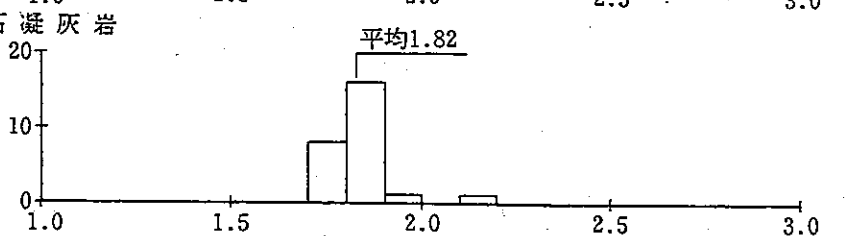
B級 凝灰岩
(b2)

N=72
 $\bar{x}=1.98$
 $\sigma=0.12$
V=5.8%



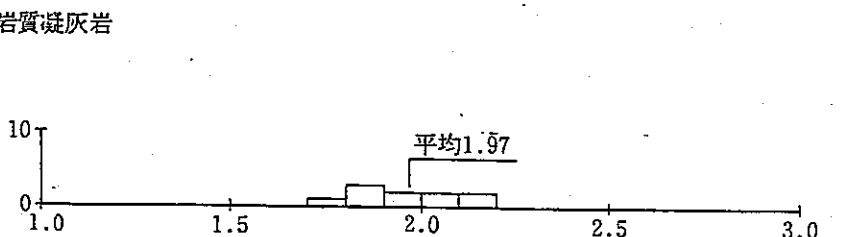
C級 軽石凝灰岩
(c)

N=26
 $\bar{x}=1.82$
 $\sigma=0.07$
V=3.9%



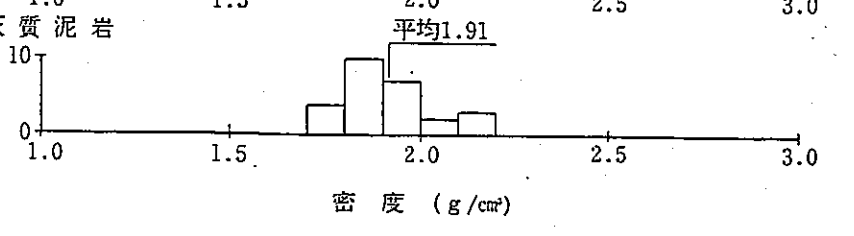
C級 含泥岩質凝灰岩
(c)

N=10
 $\bar{x}=1.97$
 $\sigma=0.13$
V=6.8%



C級 凝灰質泥岩
(c)

N=26
 $\bar{x}=1.91$
 $\sigma=0.11$
V=5.8%

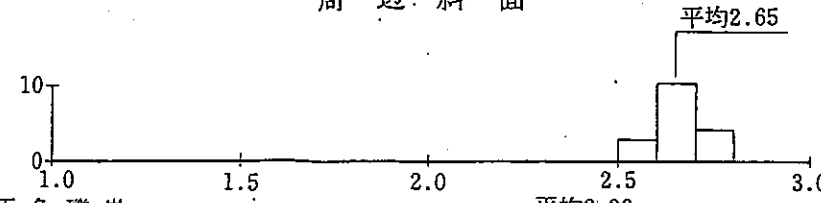


密度 (g/cm³)

周辺斜面

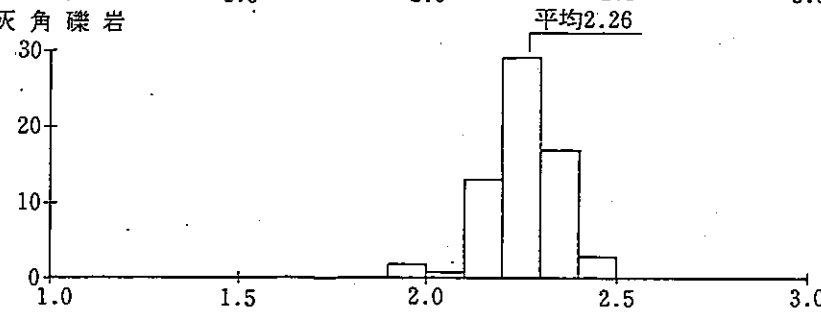
A級 安山岩熔岩
(a)

N=17
 $\bar{x}=2.65$
 $\sigma=0.06$
V=2%



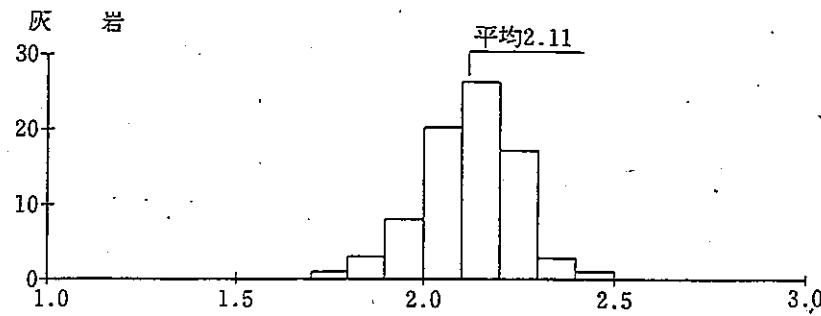
A級 凝灰角礫岩
(b1)

N=66
 $\bar{x}=2.26$
 $\sigma=0.11$
V=5%



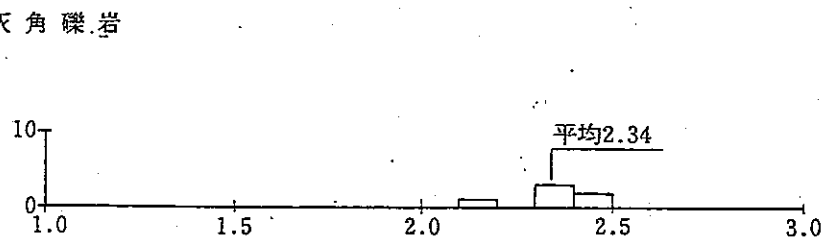
A級 凝灰岩
(b1)

N=79
 $\bar{x}=2.11$
 $\sigma=0.12$
V=6%



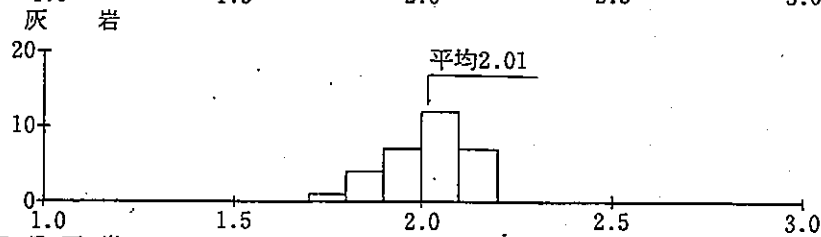
B級 凝灰角礫岩
(b2)

N=6
 $\bar{x}=2.34$
 $\sigma=0.13$
V=5%



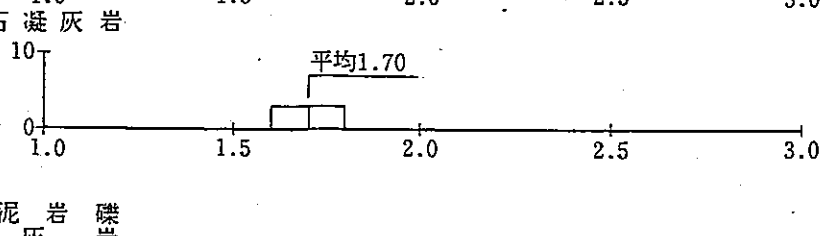
B級 凝灰岩
(b2)

N=31
 $\bar{x}=2.01$
 $\sigma=0.10$
V=5%



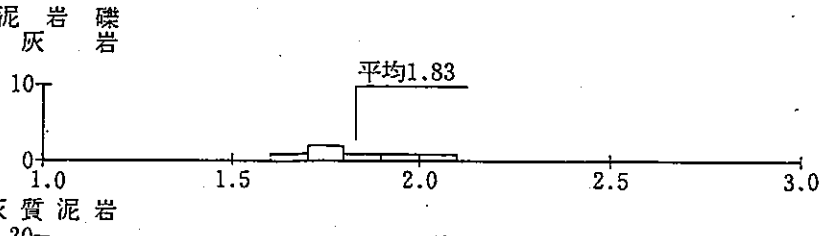
C級 軽石凝灰岩
(c)

N=6
 $\bar{x}=1.70$
 $\sigma=0.05$
V=3%



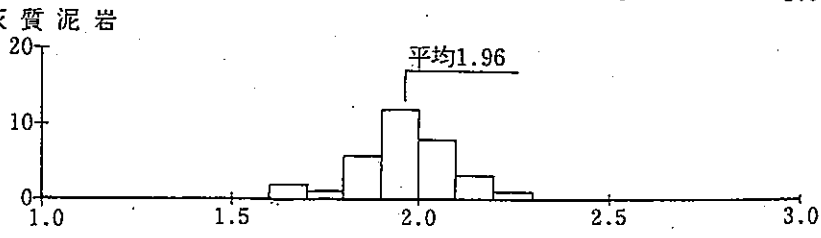
C級 含泥岩質凝灰岩
(c)

N=6
 $\bar{x}=1.83$
 $\sigma=0.15$
V=8%



C級 凝灰質泥岩
(c)

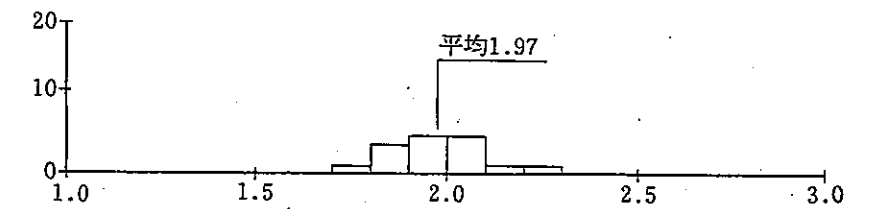
N=33
 $\bar{x}=1.96$
 $\sigma=0.13$
V=7%



密度 (g/cm³)

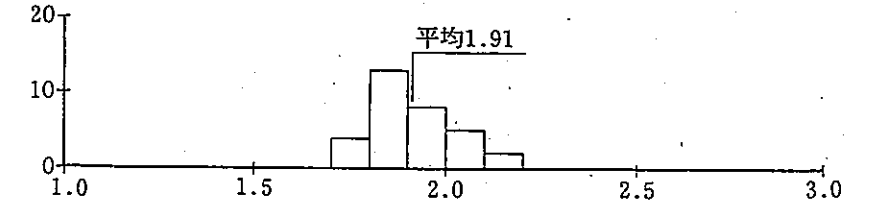
C級 凝灰角礫岩
(c) (風化部)

N=17
 $\bar{x}=1.97$
 $\sigma=0.12$
V=6%



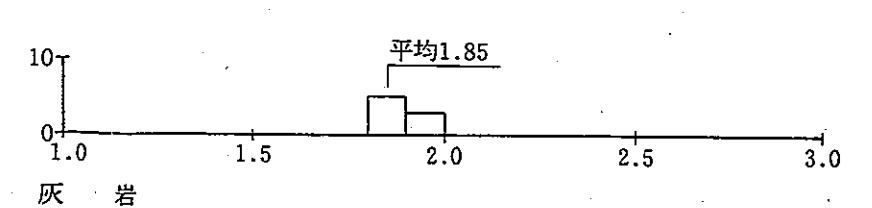
C級 凝灰岩
(c) (風化部)

N=32
 $\bar{x}=1.91$
 $\sigma=0.11$
V=6%



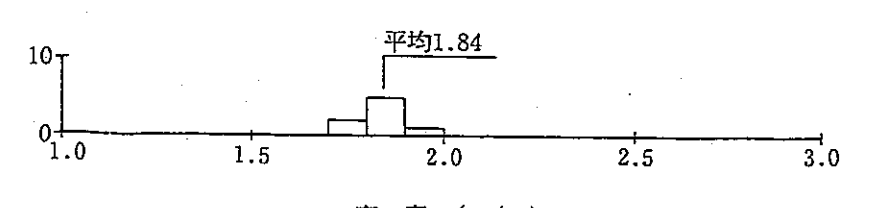
D級 凝灰角礫岩
(c) (風化部)

N=8
 $\bar{x}=1.85$
 $\sigma=0.06$
V=3%



D級 凝灰岩
(c) (風化部)

N=8
 $\bar{x}=1.84$
 $\sigma=0.05$
V=3%



密度 (g/cm³)

第4.2.18図(2) 岩種・岩盤分類別岩石試験結果ヒストグラム

原子炉建屋基礎岩盤

周辺斜面

B級 安山岩熔岩

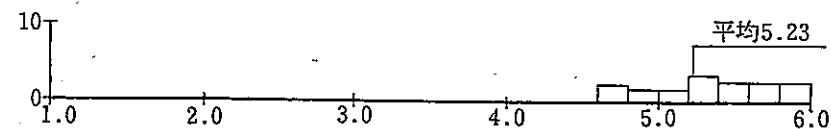
(a)

N=10

$\bar{x}=5.23$

$\sigma=0.38$

V=7.2%



A級 凝灰角礫岩

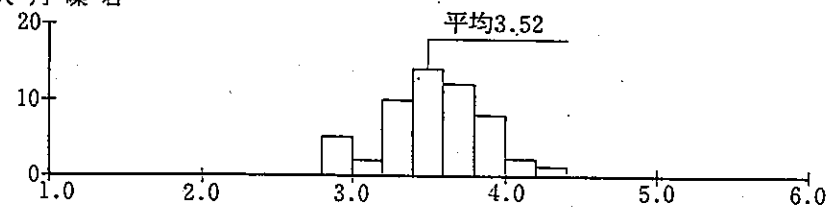
(b1)

N=54

$\bar{x}=3.52$

$\sigma=0.31$

V=8.9%



A級 凝灰岩

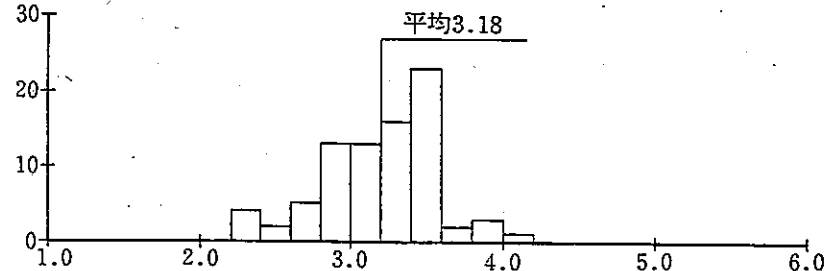
(b1)

N=82

$\bar{x}=3.18$

$\sigma=0.38$

V=11.8%



B級 凝灰角礫岩

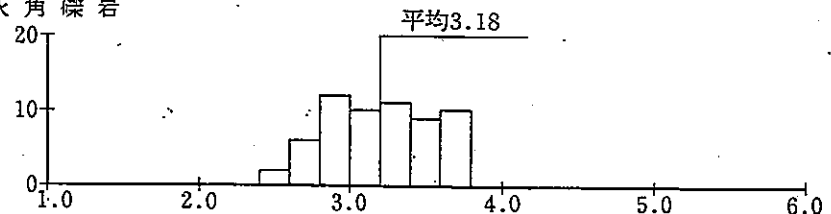
(b2)

N=60

$\bar{x}=3.18$

$\sigma=0.34$

V=10.6%



B級 凝灰岩

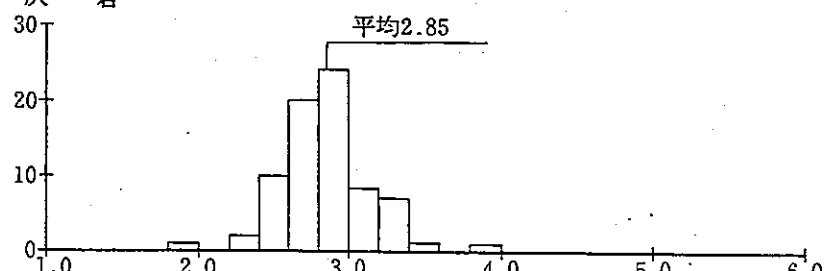
(b2)

N=74

$\bar{x}=2.85$

$\sigma=0.30$

V=10.4%



C級 軽石凝灰岩

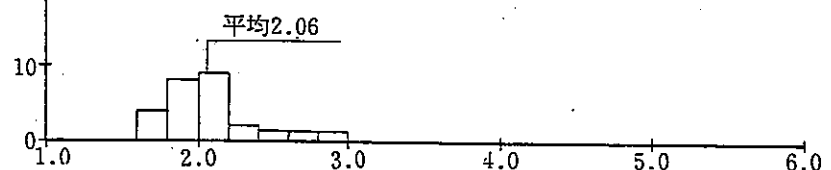
(c)

N=26

$\bar{x}=2.06$

$\sigma=0.30$

V=14.4%



C級 含泥岩凝灰岩

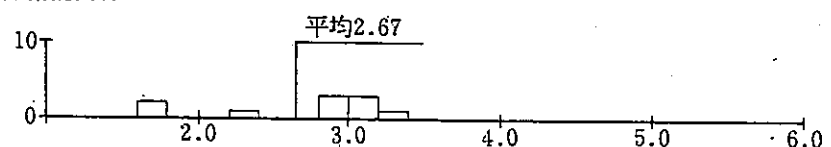
(c)

N=10

$\bar{x}=2.67$

$\sigma=0.58$

V=21.7%



C級 凝灰質泥岩

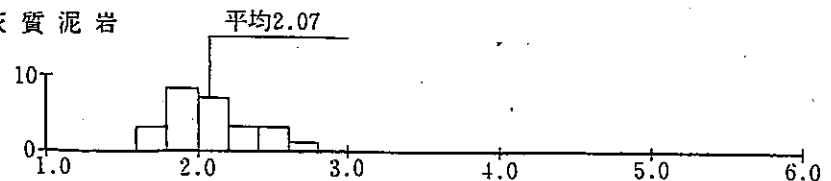
(c)

N=25

$\bar{x}=2.07$

$\sigma=0.25$

V=12.2%



P波速度 (km/s)

A級 安山岩熔岩

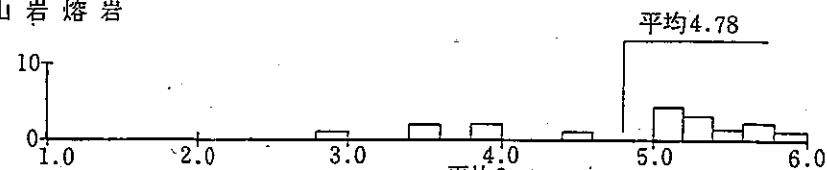
(a)

N=17

$\bar{x}=4.78$

$\sigma=0.89$

V=19%



A級 凝灰角礫岩

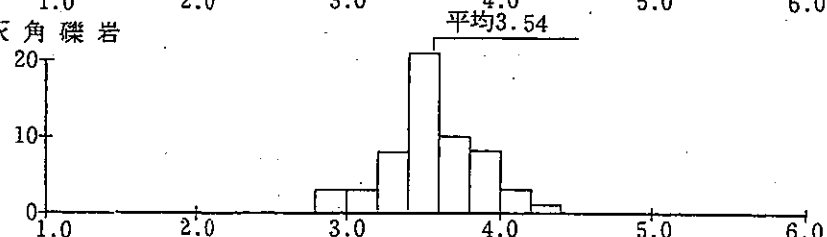
(b1)

N=57

$\bar{x}=3.54$

$\sigma=0.30$

V=8%



A級 凝灰岩

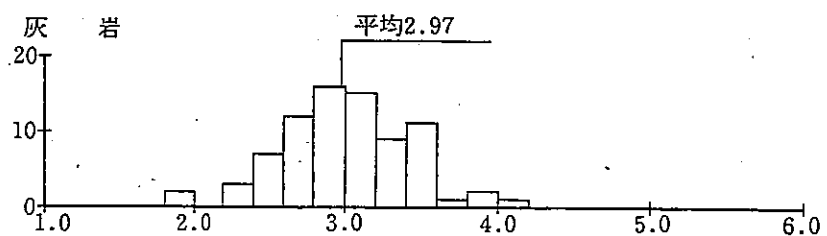
(b1)

N=79

$\bar{x}=2.97$

$\sigma=0.43$

V=14%



B級 凝灰角礫岩

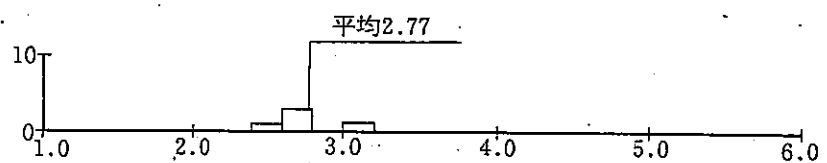
(b2)

N=5

$\bar{x}=2.77$

$\sigma=0.24$

V=9%



B級 凝灰岩

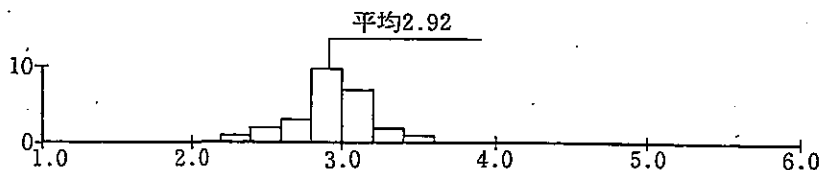
(b2)

N=26

$\bar{x}=2.92$

$\sigma=0.27$

V=9%



C級 軽石凝灰岩

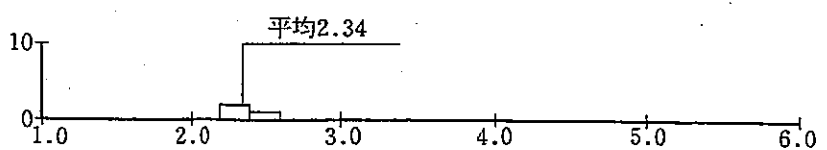
(c)

N=3

$\bar{x}=2.34$

$\sigma=0.11$

V=5%



C級 含泥岩凝灰岩

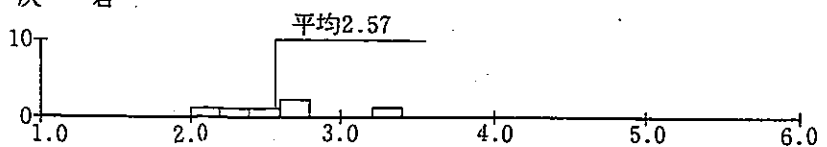
(c)

N=6

$\bar{x}=2.75$

$\sigma=0.41$

V=16%



C級 凝灰質泥岩

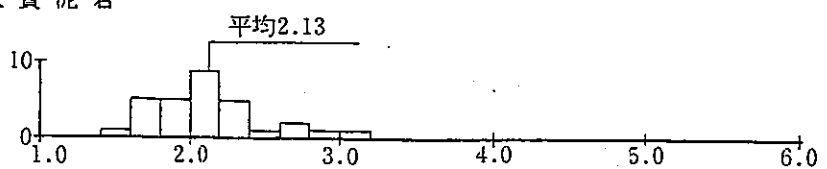
(c)

N=30

$\bar{x}=2.13$

$\sigma=0.35$

V=16%



P波速度 (km/s)

C級 凝灰角礫岩

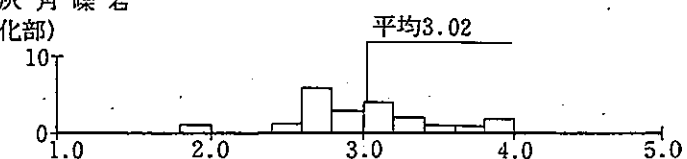
(c) (風化部)

N=21

$\bar{x}=3.02$

$\sigma=0.46$

V=15%



C級 凝灰岩

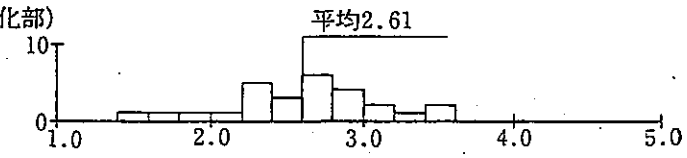
(c) (風化部)

N=27

$\bar{x}=2.61$

$\sigma=0.48$

V=18%



P波速度 (km/s)

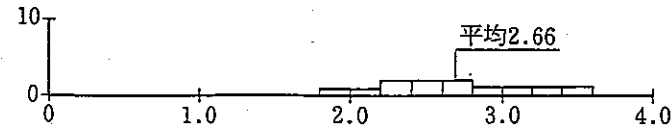
第4.2.18図(3) 岩種・岩盤分類別岩石試験結果

ヒストグラム

B級 安山岩 熔岩 原子炉建屋基礎岩盤

(a)

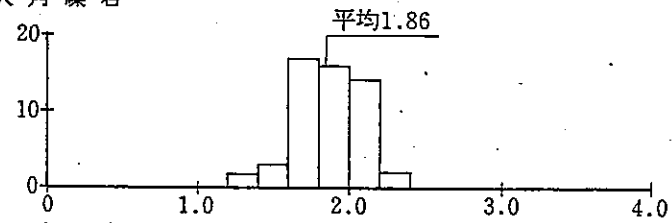
N=10
 $\bar{x}=2.66$
 $\sigma=0.54$
 V=20.3%



A級 凝灰角礫岩

(b1)

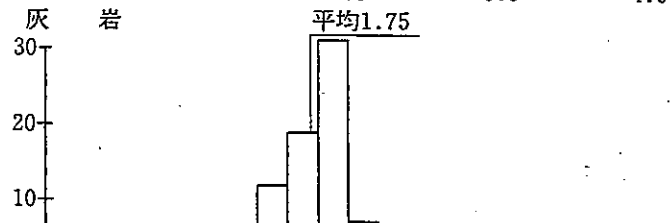
N=54
 $\bar{x}=1.86$
 $\sigma=0.22$
 V=12.0%



A級 凝灰岩

(b1)

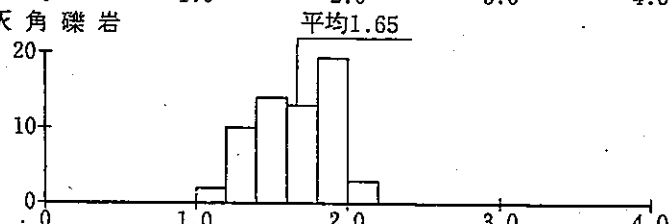
N=82
 $\bar{x}=1.75$
 $\sigma=0.27$
 V=15.5%



B級 凝灰角礫岩

(b2)

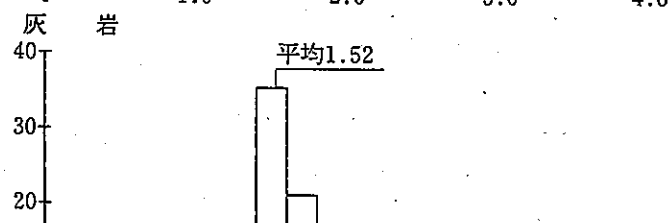
N=60
 $\bar{x}=1.65$
 $\sigma=0.24$
 V=14.7%



B級 凝灰岩

(b2)

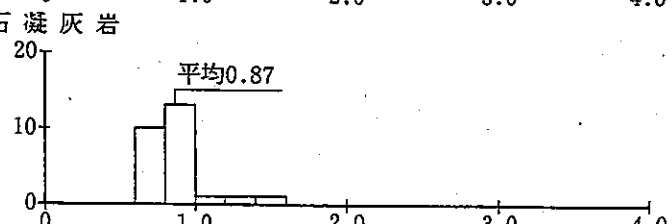
N=74
 $\bar{x}=1.52$
 $\sigma=0.16$
 V=10.8%



C級 軽石凝灰岩

(c)

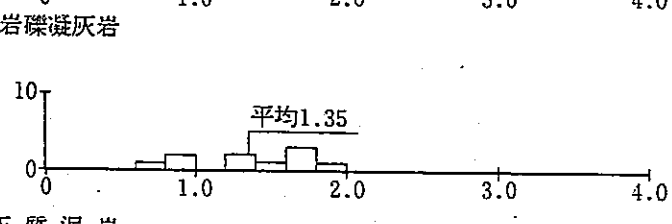
N=26
 $\bar{x}=0.87$
 $\sigma=0.17$
 V=19.3%



C級 含泥岩礫凝灰岩

(c)

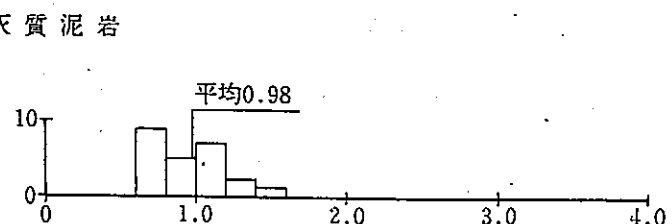
N=10
 $\bar{x}=1.35$
 $\sigma=0.40$
 V=29.8%



C級 凝灰質泥岩

(c)

N=25
 $\bar{x}=0.98$
 $\sigma=0.23$
 V=23.8%

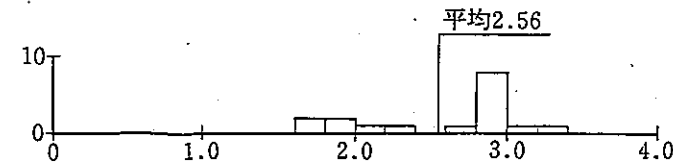


S波速度 (km/s)

周辺斜面

(a)

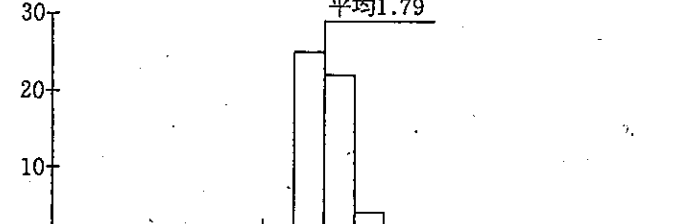
N=17
 $\bar{x}=2.56$
 $\sigma=0.53$
 V=21%



A級 凝灰角礫岩

(b1)

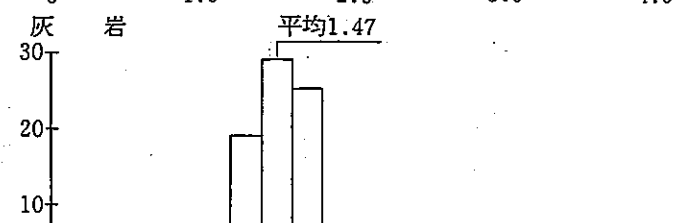
N=57
 $\bar{x}=1.79$
 $\sigma=0.19$
 V=11%



A級 凝灰岩

(b1)

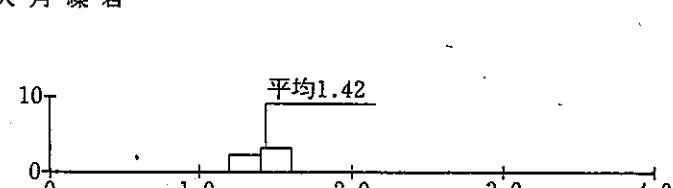
N=79
 $\bar{x}=1.47$
 $\sigma=0.19$
 V=13%



B級 凝灰角礫岩

(b2)

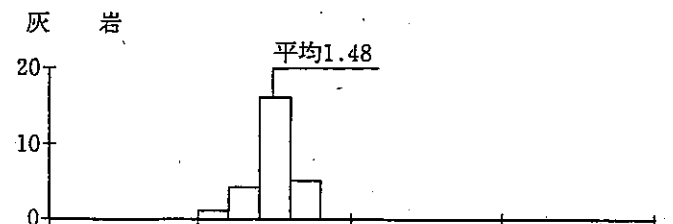
N=5
 $\bar{x}=1.42$
 $\sigma=0.11$
 V=8%



B級 凝灰岩

(b2)

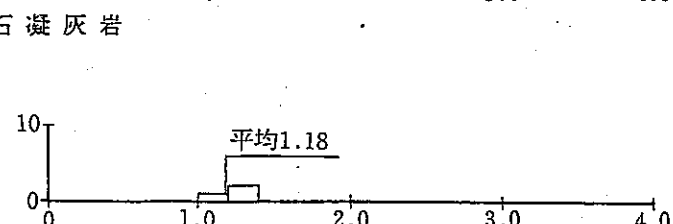
N=26
 $\bar{x}=1.48$
 $\sigma=0.14$
 V=9%



C級 軽石凝灰岩

(c)

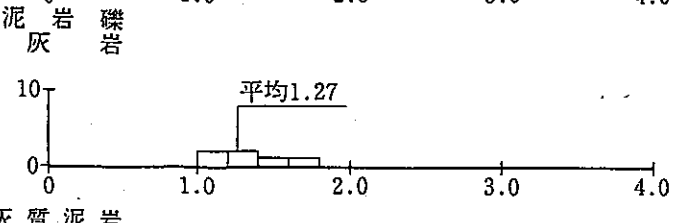
N=3
 $\bar{x}=1.18$
 $\sigma=0.04$
 V=3%



C級 含泥岩礫凝灰岩

(c)

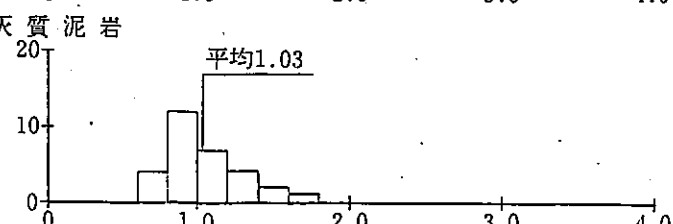
N=6
 $\bar{x}=1.27$
 $\sigma=0.23$
 V=18%



C級 凝灰質泥岩

(c)

N=30
 $\bar{x}=1.03$
 $\sigma=0.23$
 V=22%

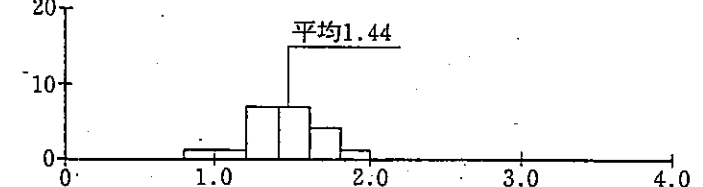


S波速度 (km/s)

C級 凝灰角礫岩

(c) (風化部)

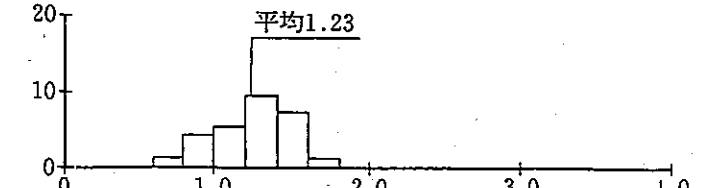
N=21
 $\bar{x}=1.44$
 $\sigma=0.20$
 V=14%



C級 凝灰岩

(c) (風化部)

N=27
 $\bar{x}=1.23$
 $\sigma=0.23$
 V=19%



S波速度 (km/s)

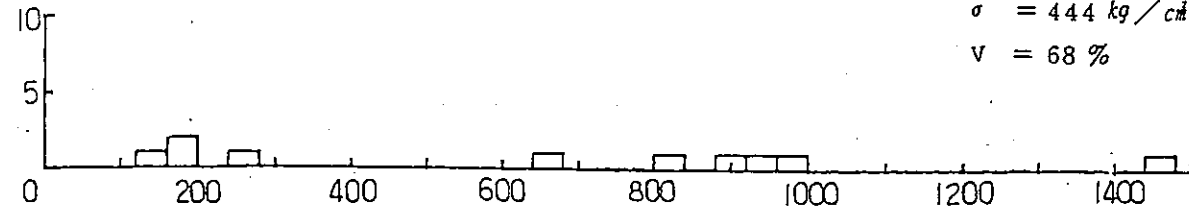
第4.2.18図(4) 岩種・岩盤分類別岩石試験結果

ヒストグラム

原子炉建屋基礎岩盤

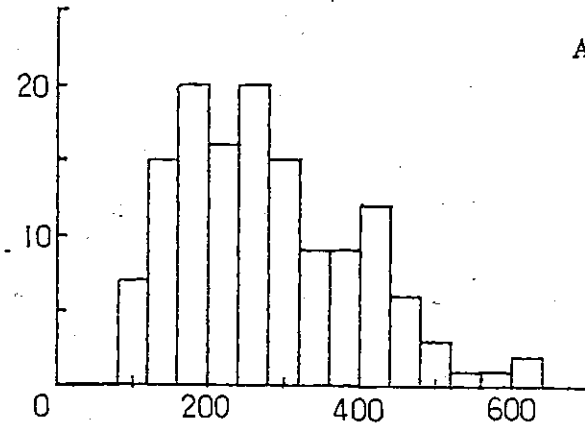
安山岩熔岩 (a) N = 10

$\bar{x} = 655 \text{ kg/cm}^2$
 $\sigma = 444 \text{ kg/cm}^2$
 $V = 68 \%$



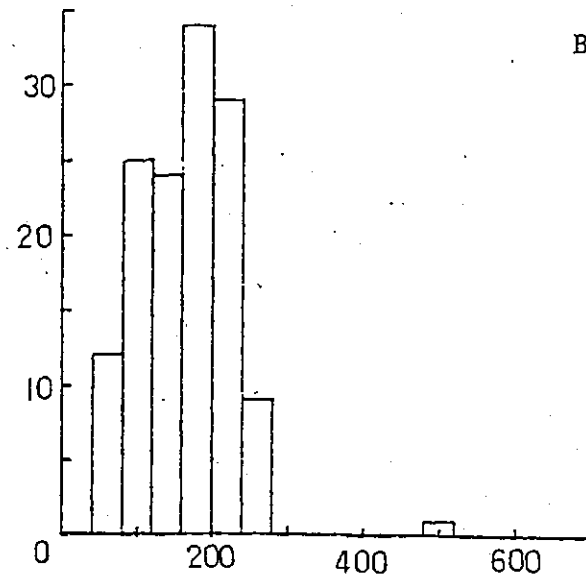
A級 (b₁) N = 136

$\bar{x} = 277 \text{ kg/cm}^2$
 $\sigma = 119 \text{ kg/cm}^2$
 $V = 43 \%$



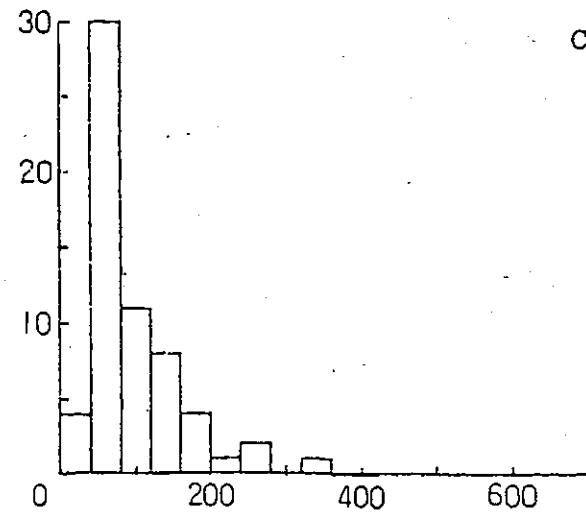
B級 (b₂) N = 134

$\bar{x} = 162 \text{ kg/cm}^2$
 $\sigma = 63 \text{ kg/cm}^2$
 $V = 39 \%$



C級 (c) N = 61

$\bar{x} = 97 \text{ kg/cm}^2$
 $\sigma = 64 \text{ kg/cm}^2$
 $V = 66 \%$

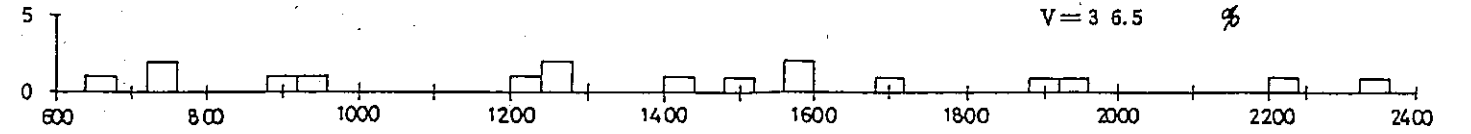


一軸圧縮強度 (kg/cm²)

周辺斜面 安山岩熔岩 (a)

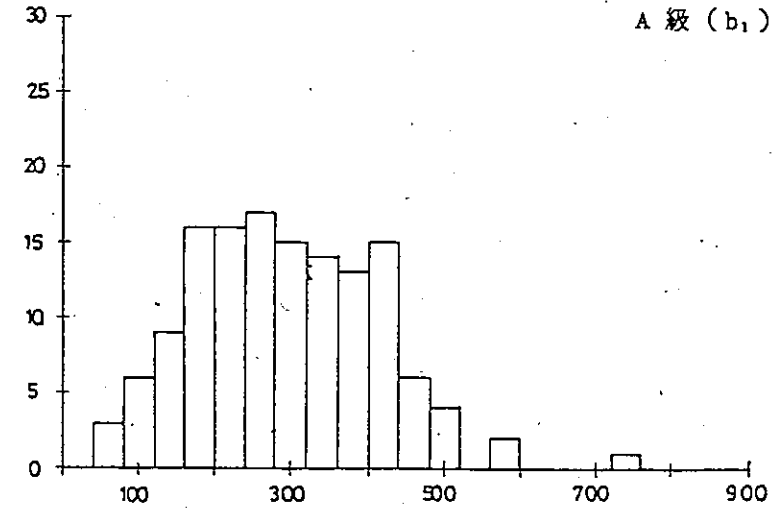
N = 17

$\bar{x} = 1404 \text{ kg/cm}^2$
 $\sigma = 513 \text{ kg/cm}^2$
 $V = 36.5 \%$



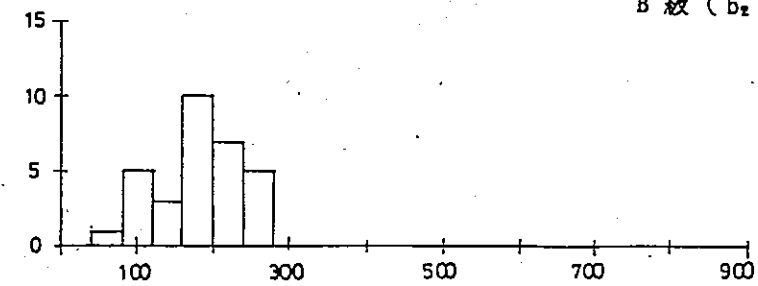
A級 (b₁) N = 136

$\bar{x} = 292 \text{ kg/cm}^2$
 $\sigma = 122 \text{ kg/cm}^2$
 $V = 41.8 \%$



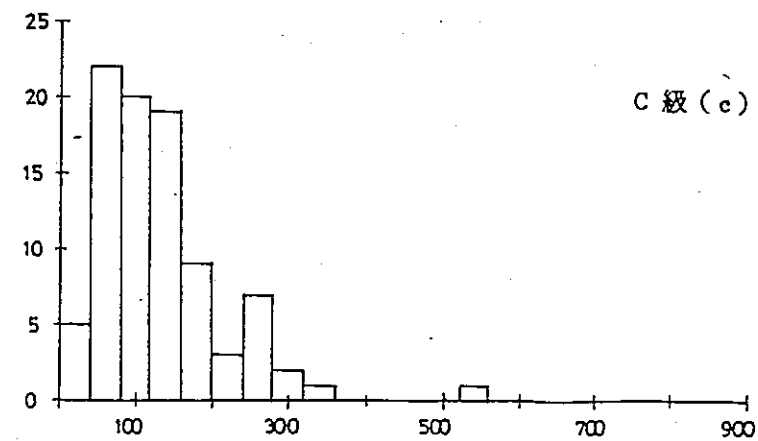
B級 (b₂) N = 31

$\bar{x} = 180 \text{ kg/cm}^2$
 $\sigma = 58 \text{ kg/cm}^2$
 $V = 32.2 \%$



C級 (c) N = 87

$\bar{x} = 124 \text{ kg/cm}^2$
 $\sigma = 82 \text{ kg/cm}^2$
 $V = 66.1 \%$



一軸圧縮強度 (kg/cm²)

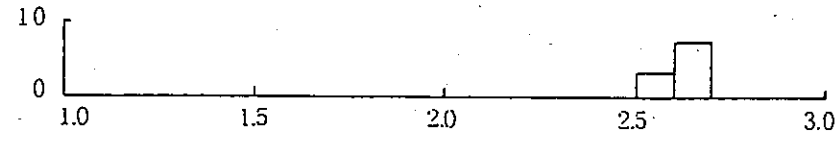
第 4.2.19 図(1) 岩盤分類別岩石試験結果ヒストグラム

安山岩熔岩 (a) N = 10

$\bar{x} = 2.64 \text{ g/cm}^3$

$\sigma = 0.06 \text{ g/cm}^3$

$V = 2.1 \%$

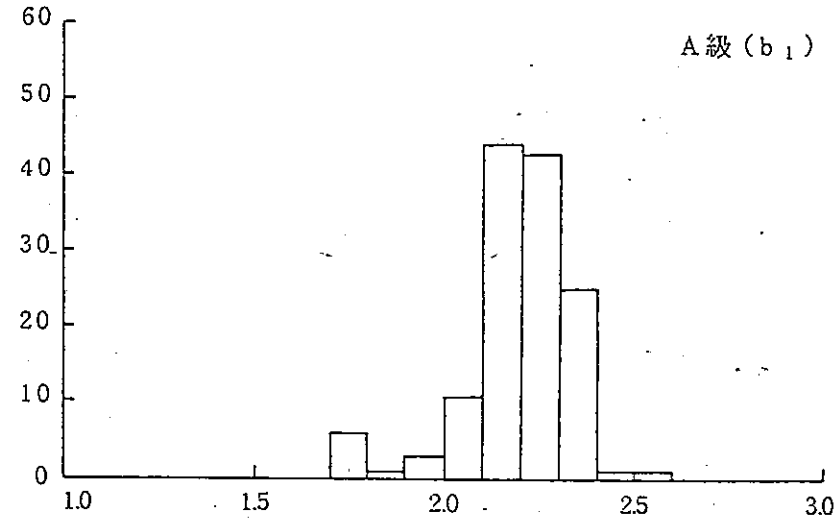


A級 (b₁) N = 135

$\bar{x} = 2.18 \text{ g/cm}^3$

$\sigma = 0.14 \text{ g/cm}^3$

$V = 6.3 \%$

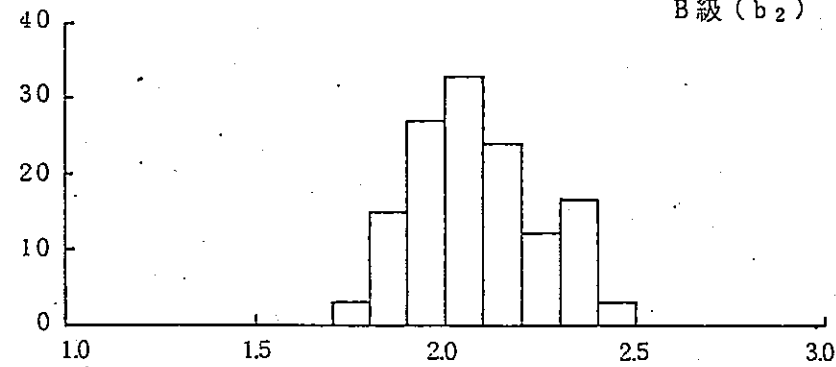


B級 (b₂) N = 134

$\bar{x} = 2.08 \text{ g/cm}^3$

$\sigma = 0.16 \text{ g/cm}^3$

$V = 7.9 \%$

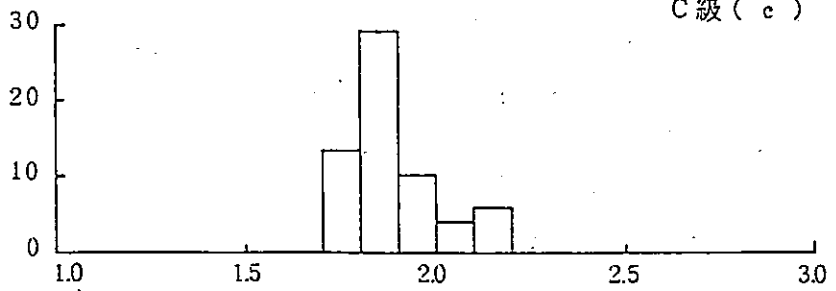


C級 (c) N = 62

$\bar{x} = 1.88 \text{ g/cm}^3$

$\sigma = 0.11 \text{ g/cm}^3$

$V = 6.0 \%$



密度 (g/cm³)

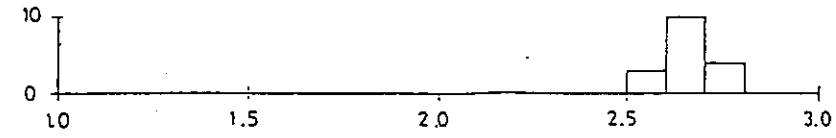
周辺斜面

(a) N = 17

$\bar{x} = 2.65 \text{ g/cm}^3$

$\sigma = 0.06 \text{ g/cm}^3$

$V = 2.3 \%$

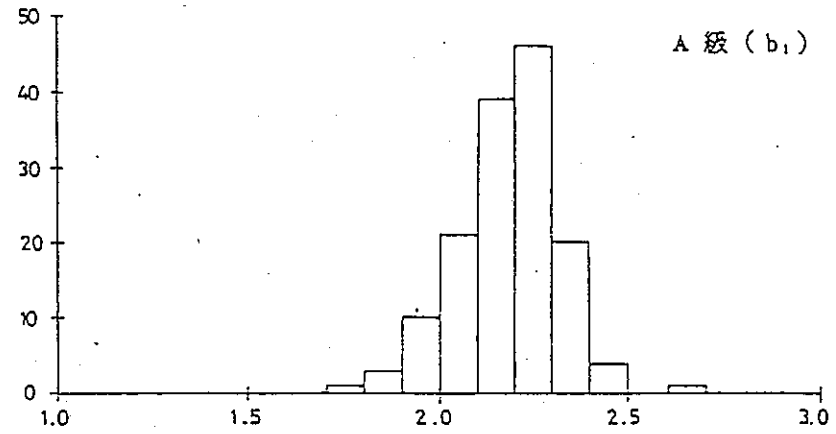


A級 (b₁) N = 145

$\bar{x} = 2.18 \text{ g/cm}^3$

$\sigma = 0.14 \text{ g/cm}^3$

$V = 6.4 \%$

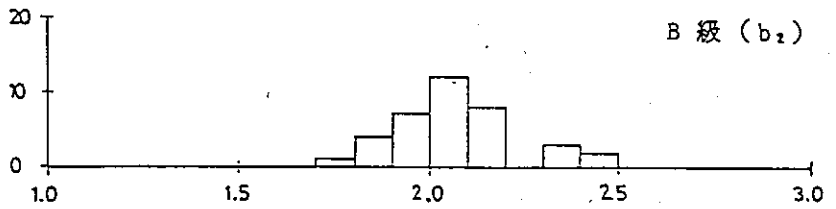


B級 (b₂) N = 37

$\bar{x} = 2.06 \text{ g/cm}^3$

$\sigma = 0.16 \text{ g/cm}^3$

$V = 7.8 \%$

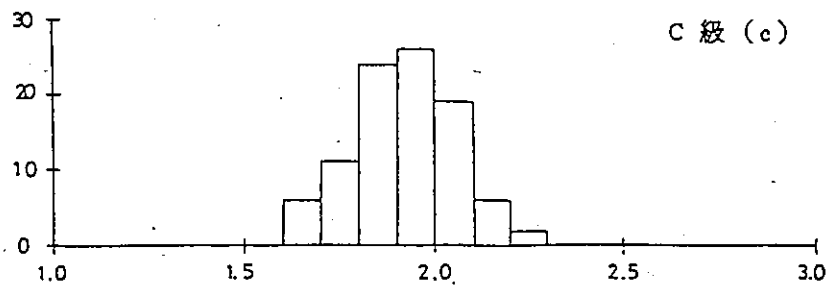


C級 (c) N = 94

$\bar{x} = 1.92 \text{ g/cm}^3$

$\sigma = 0.13 \text{ g/cm}^3$

$V = 6.8 \%$

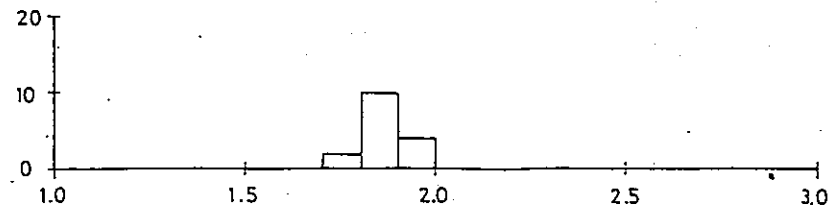


D級 (c) N = 16

$\bar{x} = 1.85 \text{ g/cm}^3$

$\sigma = 0.05 \text{ g/cm}^3$

$V = 2.7 \%$



密度 (g/cm³)

第4.2.19図(2) 岩盤分類別岩石試験結果ヒストグラム